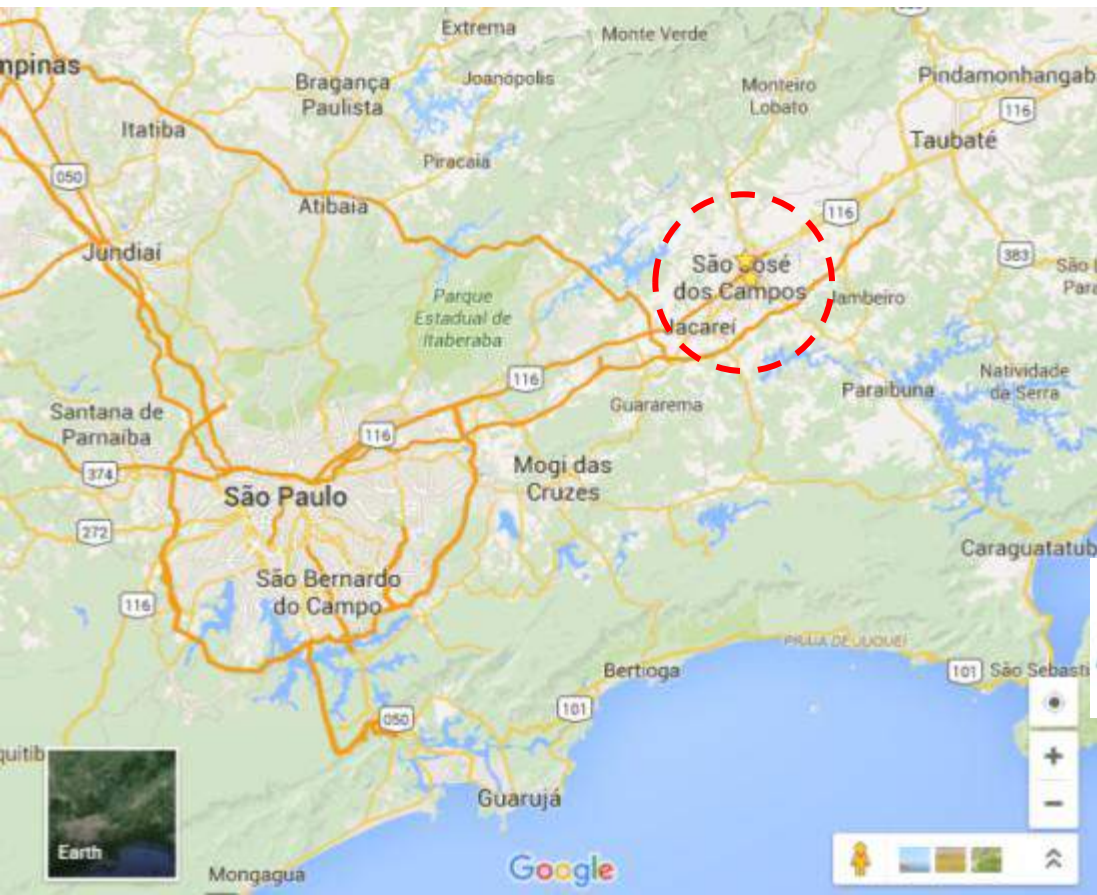




NANOTECPLASMA

LABORATÓRIO DE NANOTECNOLOGIA
E PROCESSOS A PLASMA





Janeiro de 2011

25 membros

- Professores/Pesquisadores:

Homero Santiago Maciel

Lúcia Vieira

Rodrigo Sávio Pessoa

Sonia Khouri Crosariol

- Técnico mecânica:

Augusto Luiz Lopes

- Pós-doutorando:

Polyana Alves Radi Gonçalves

- Estudantes de pós-graduação:

João Carlos Lazaro (Doutorado)

Everton Diniz (Doutorado)

Gerson Luqueta (Doutorado)

William Chiappim (Doutorado)

Giorgio Testoni (Doutorado)

Anelise Doria (Doutorado)

Thaís Baesso (Doutorado)

Angela Vieira (Mestrado)

Tarcísio Antonio (Mestrado)

Camila Sorge (Mestrado)

- Estudantes de graduação:

Jhonatan Steffens Brandão de Lima

Rachel Carvalho Gonçalves

Rodrigo Gaddini

Guilherme Torello Cassiano Redi

Larissa Cristina Sant'ana da Cruz

Thaís Cristina da Silva

Benilde Hudson Buaca Sinadinse

Lucas Augusto Manfroi

Guilherme Charles Blenco

Linhas de pesquisa

Materiais:

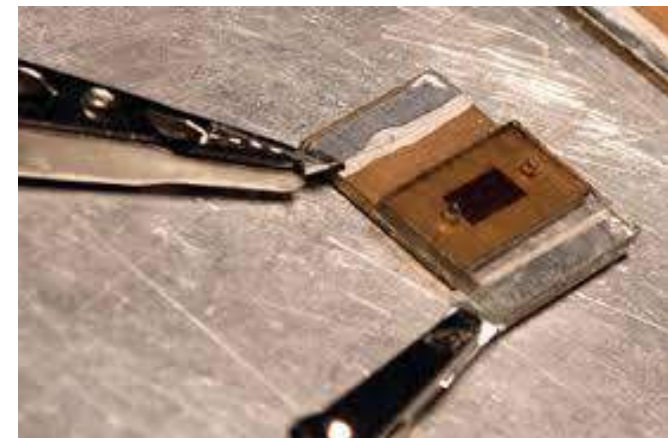
1. Filmes finos processados a plasma:
DLC, SiC, TiO₂, Al₂O₃
2. Síntese e estudo de materiais nanoestruturados:
 - Aplicação de nanopartículas em filmes de DLC e a-SiC:H;
 - Recobrimentos / microeletrônica.
3. Tribologia e nanotribologia de superfícies.

Engenharia biomédica:

4. Desenvolvimento de plasmas atmosféricos para área médica/biológica;
5. Aplicação de plasmas na biologia:
 - Esterilização de superfícies;
 - Tratamento de superfícies biológicas;
 - Estudo do efeito do plasma em superfícies biológicas.

Energia e sustentabilidade:

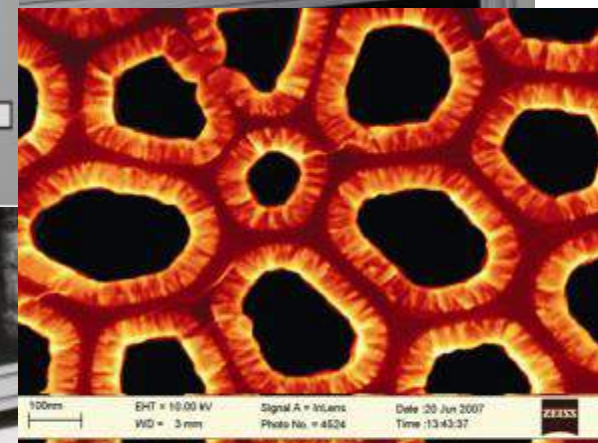
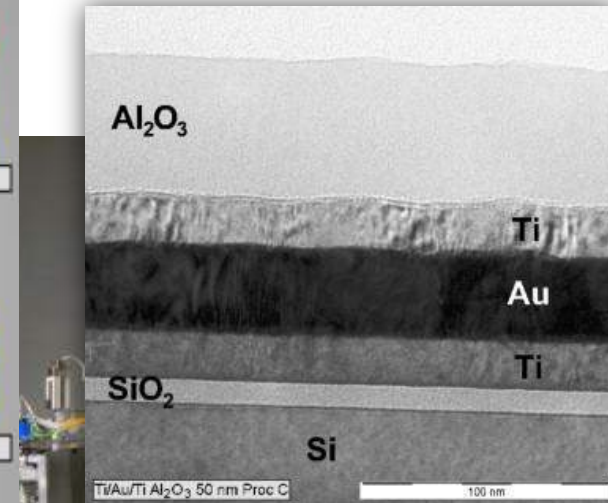
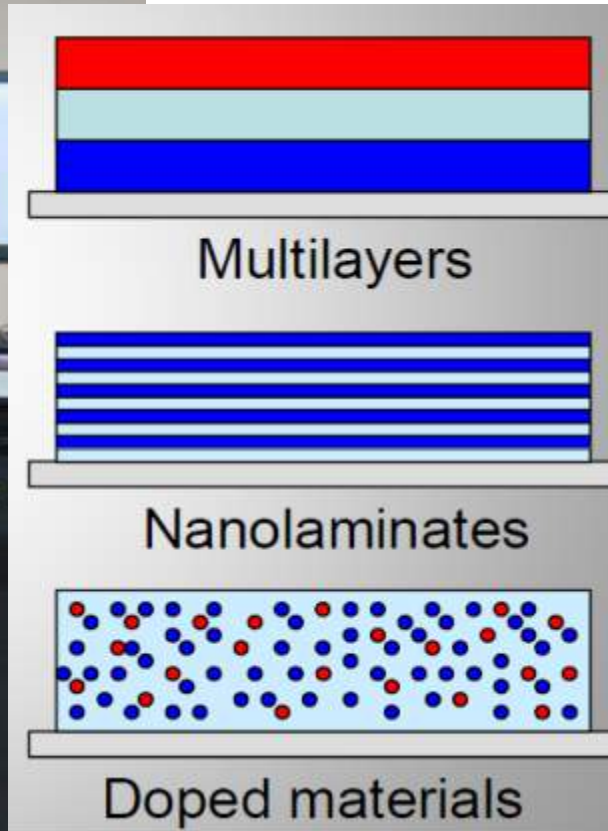
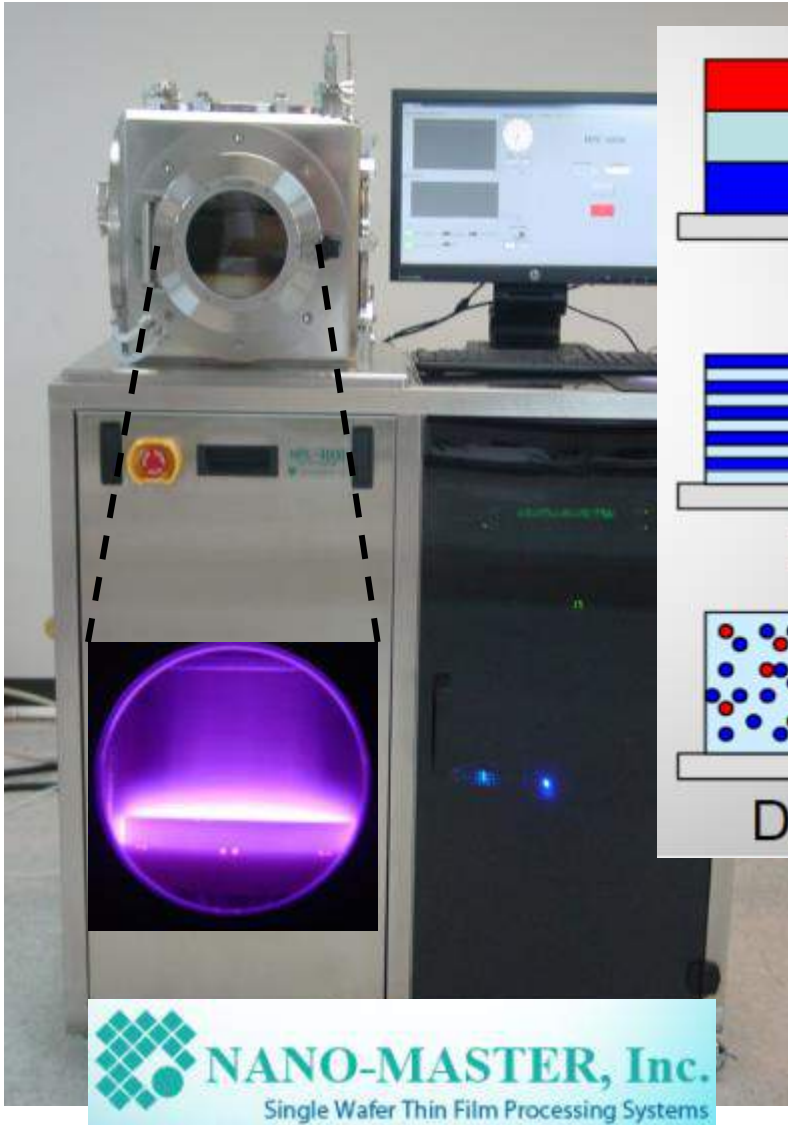
5. Desenvolvimento de tochas de plasmas para tratamento de detritos.
6. Vitrificação de cinzas por plasmas térmicos.
7. Desenvolvimento de células fotoeletroquímicas para geração de H₂ por fotoeletrólise da água;
8. Células solares de 3^a geração.



Células solares sensibilizadas com corante

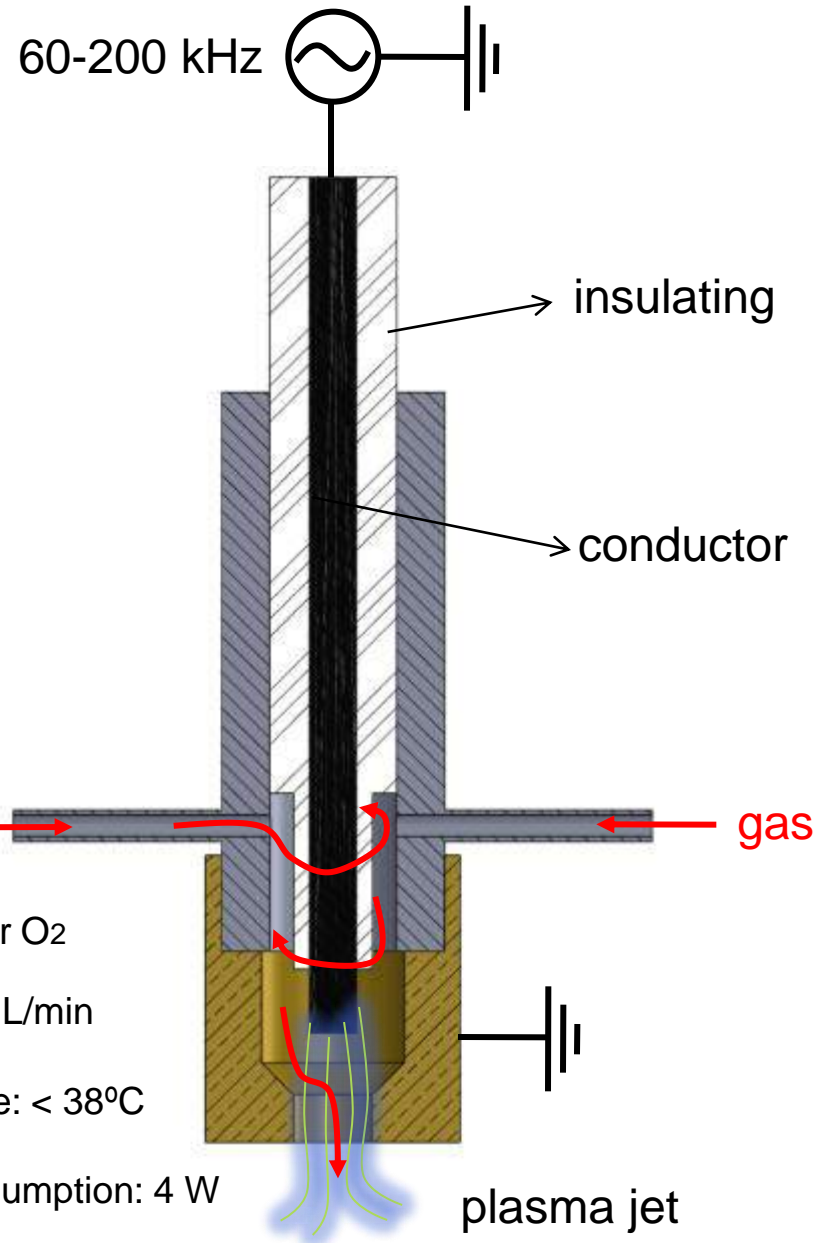
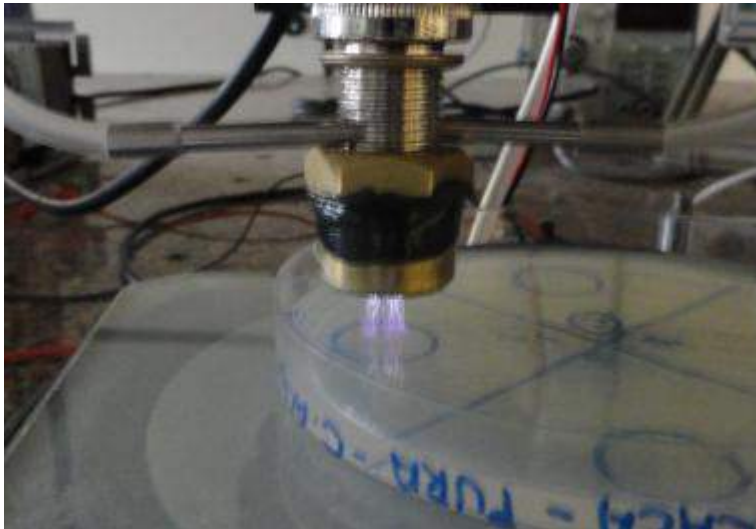
(PECVD) – pulsed DC

(PEALD) – RF



ZnO Coating

Plasma at atmospheric pressure for treating biological surfaces

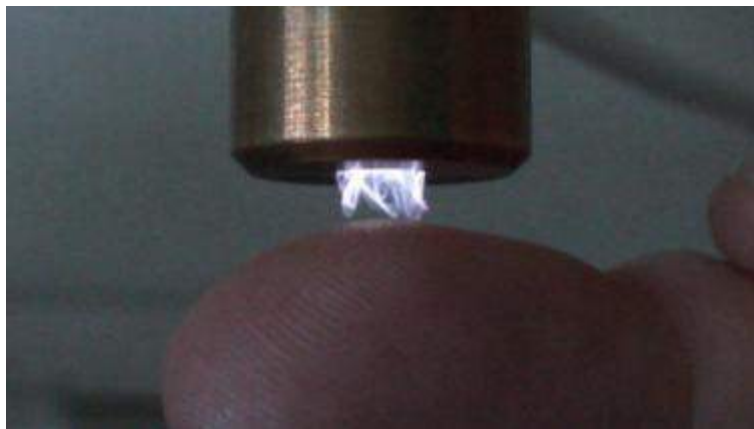


Gases: Ar and/or O₂

Low flow rate: 1 L/min

Low temperature: < 38°C

Low power consumption: 4 W



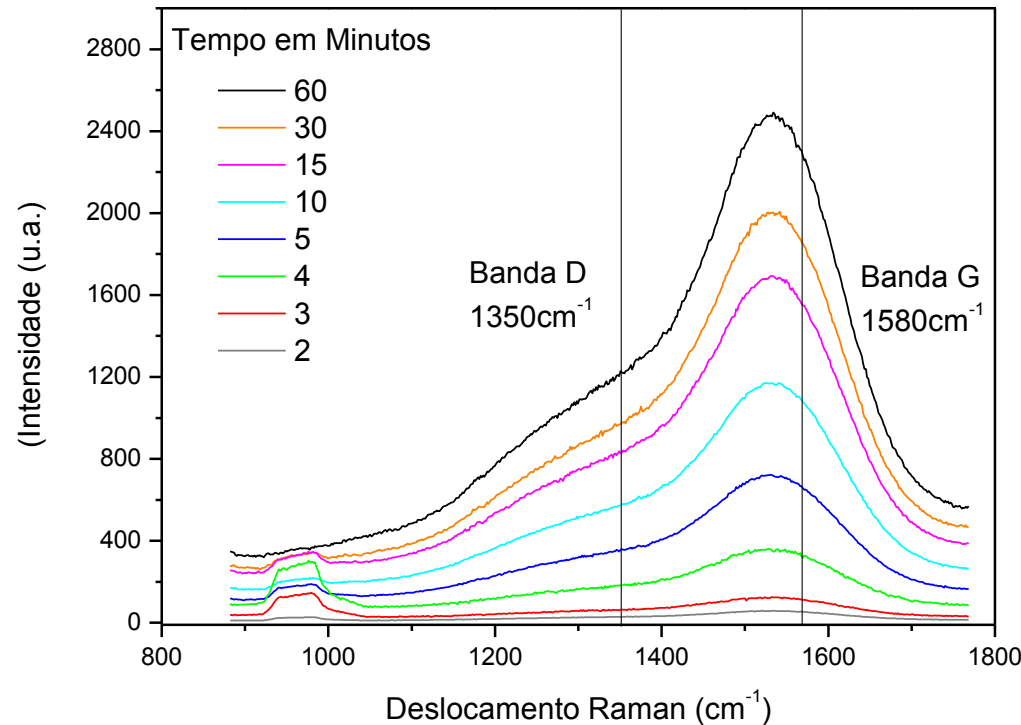
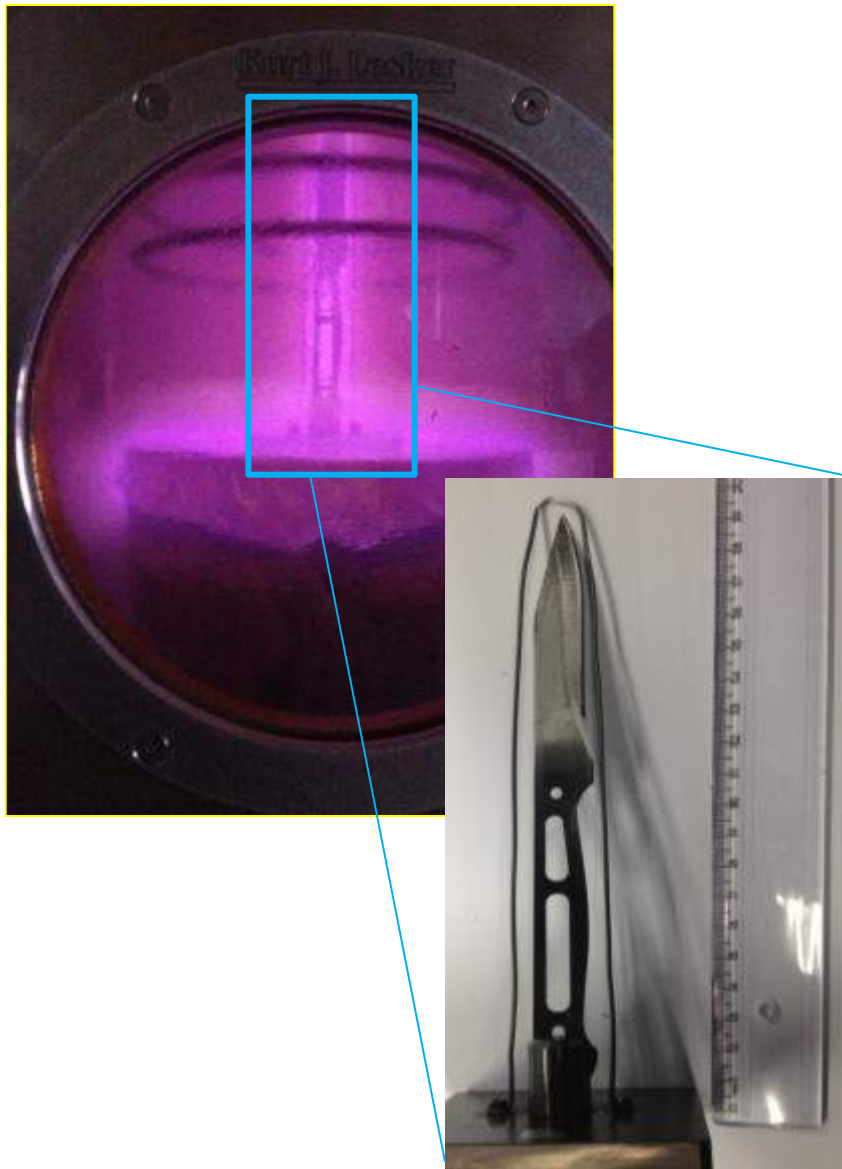
Molecular Beam Mass Spectrometry

- Chemical analysis of atmospheric plasma
- interactions between Plasma, surfaces and powders



Modelo HPR-60, marca Hidden.

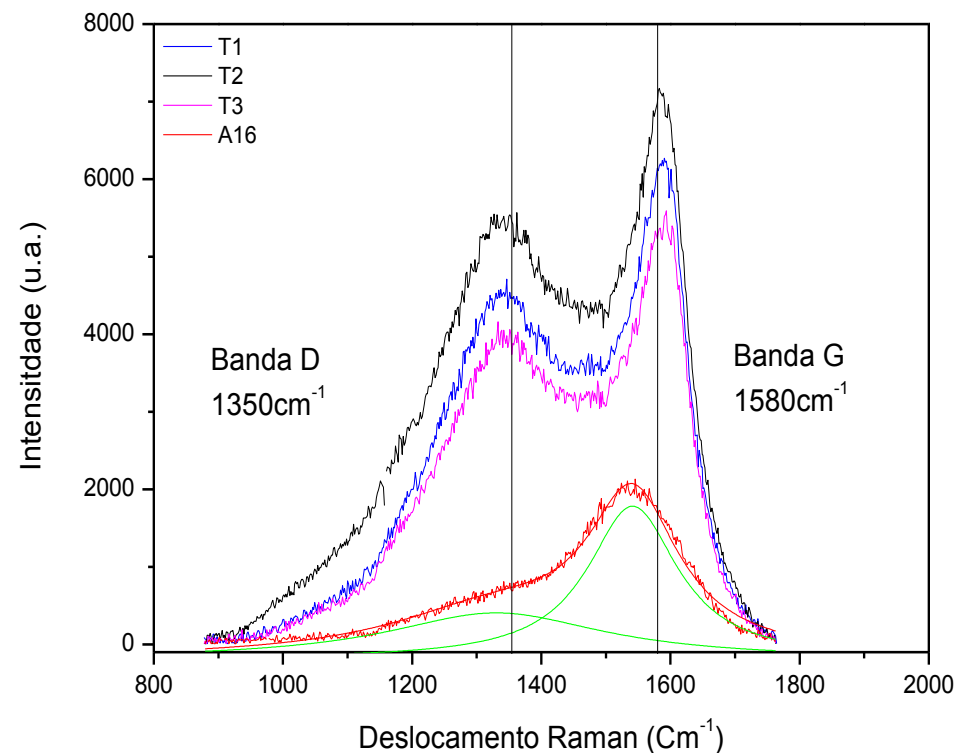
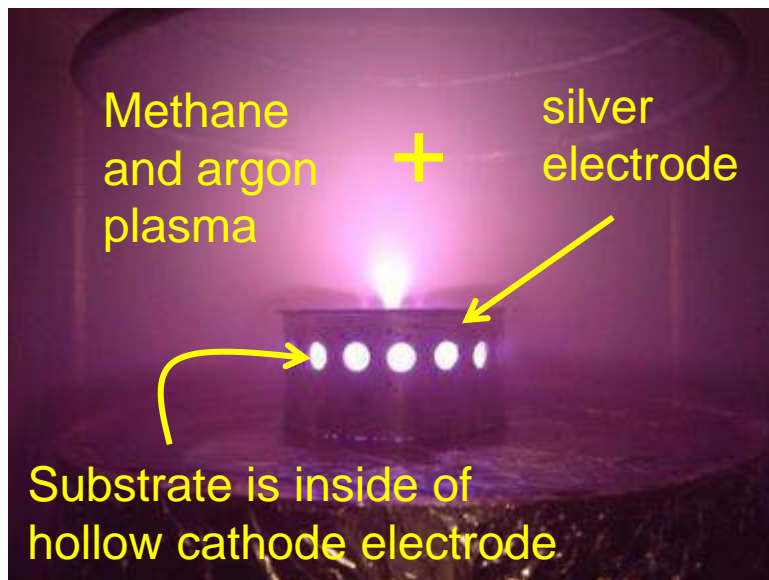
PECVD Diamond-like carbon coatings in tools



Effect of deposition time in chemical structure of the film

→ Application: reduction in wear of cutting tools

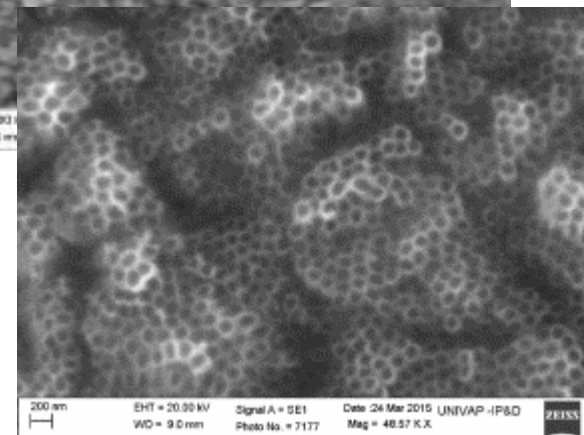
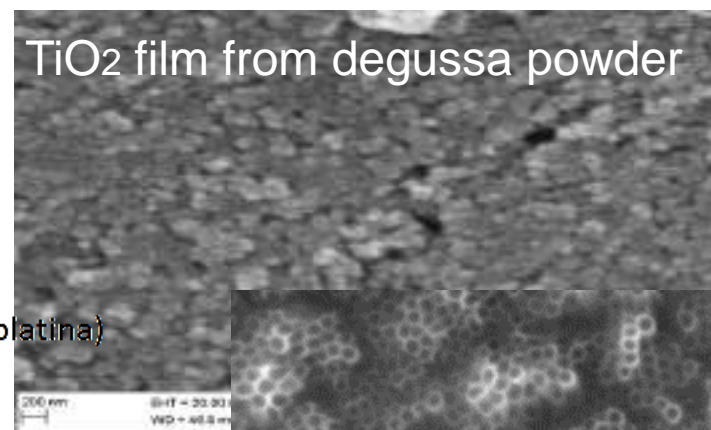
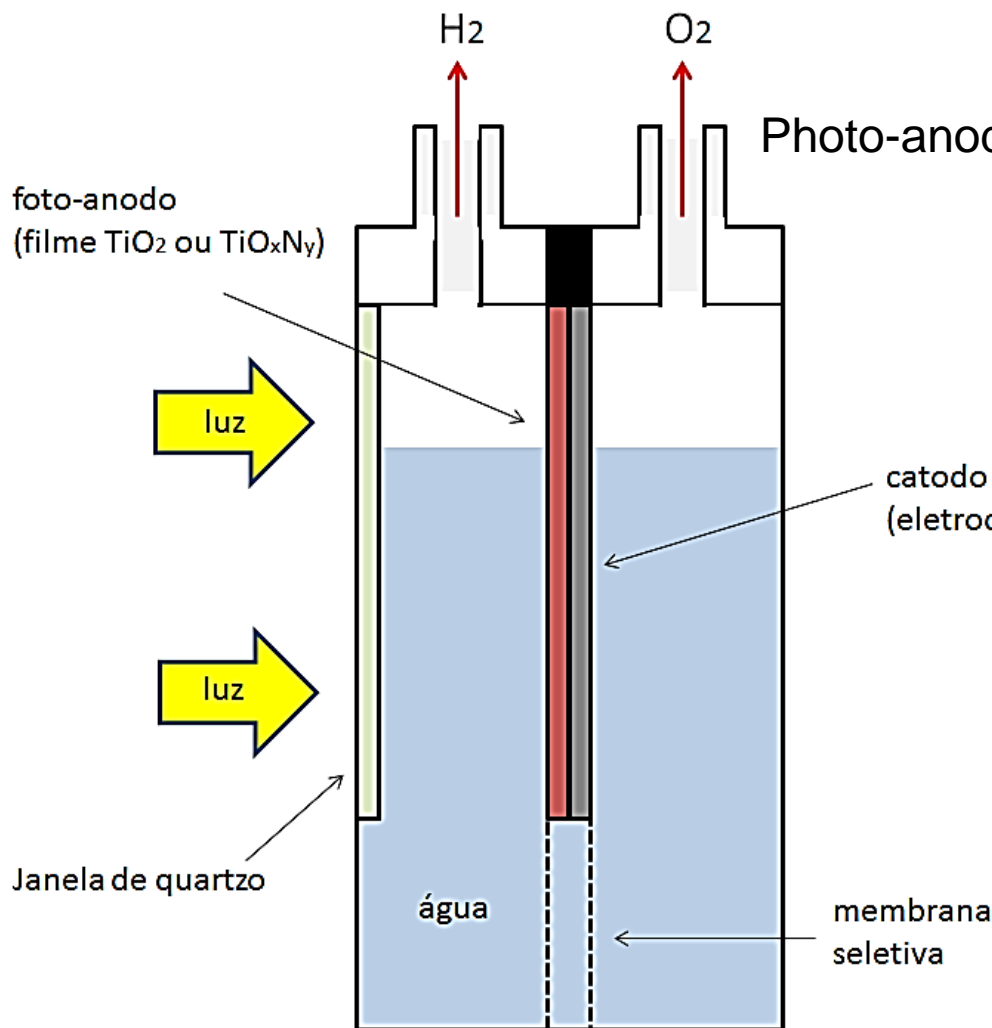
Deposition of diamond-like carbon with silver by PECVD



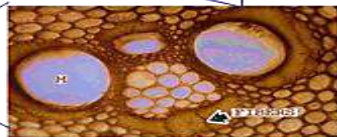
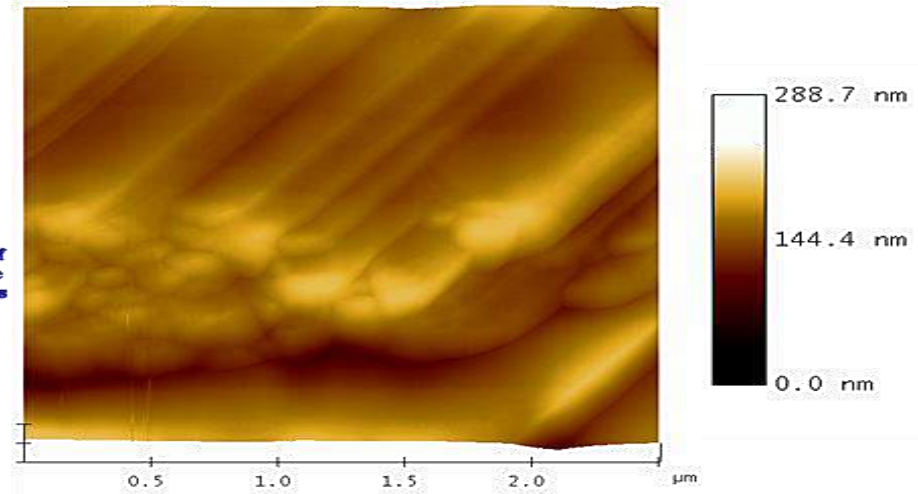
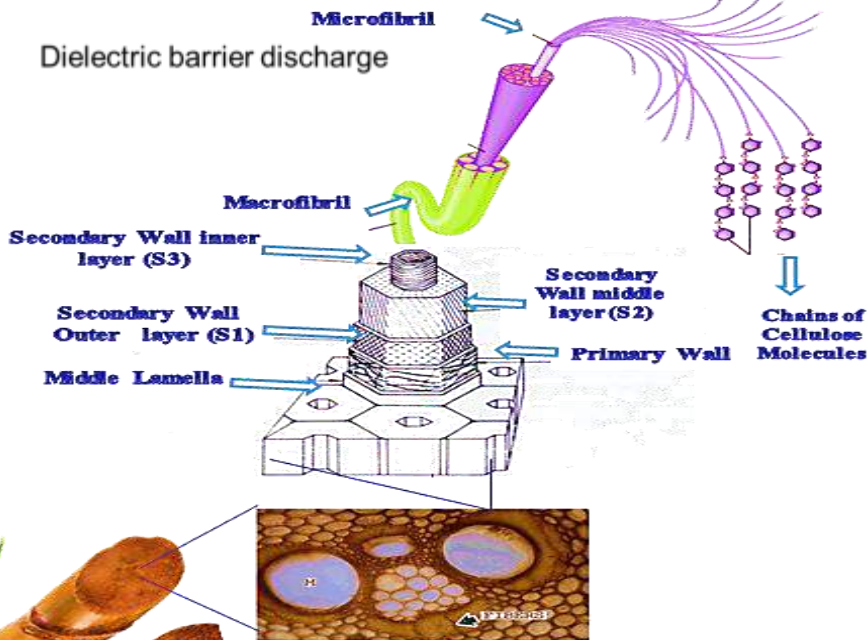
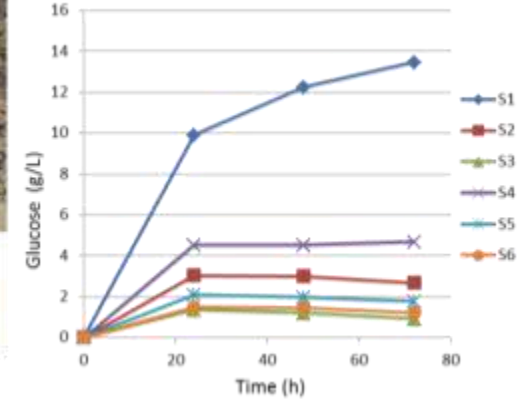
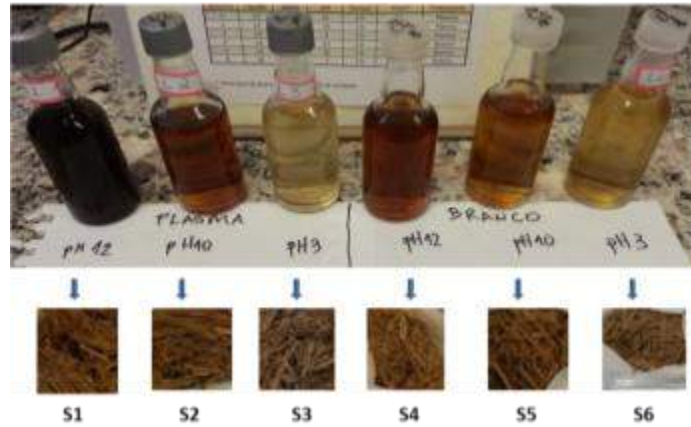
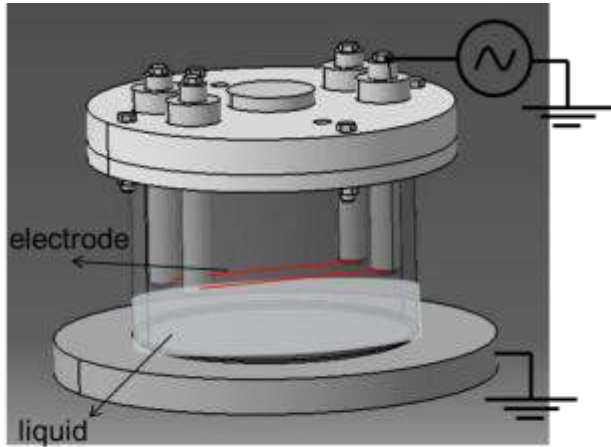
- Applications:
- biomedical implants;
 - oxygen etching resistance aerospace devices.

Development of a TiO₂-based photoelectrochemical cell for photo-electrolysis of water → H₂ generation

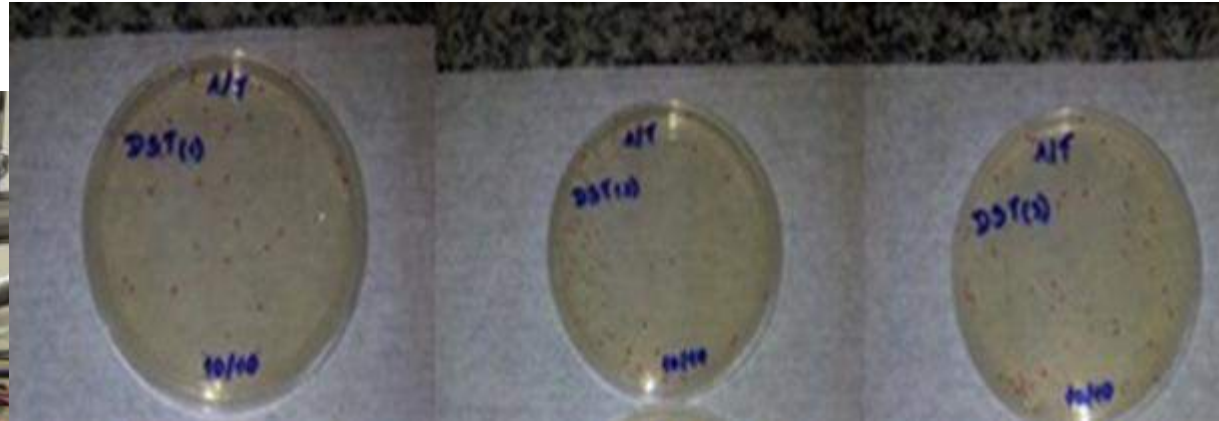
Photo-anode is based in TiO₂ nanostructured films:



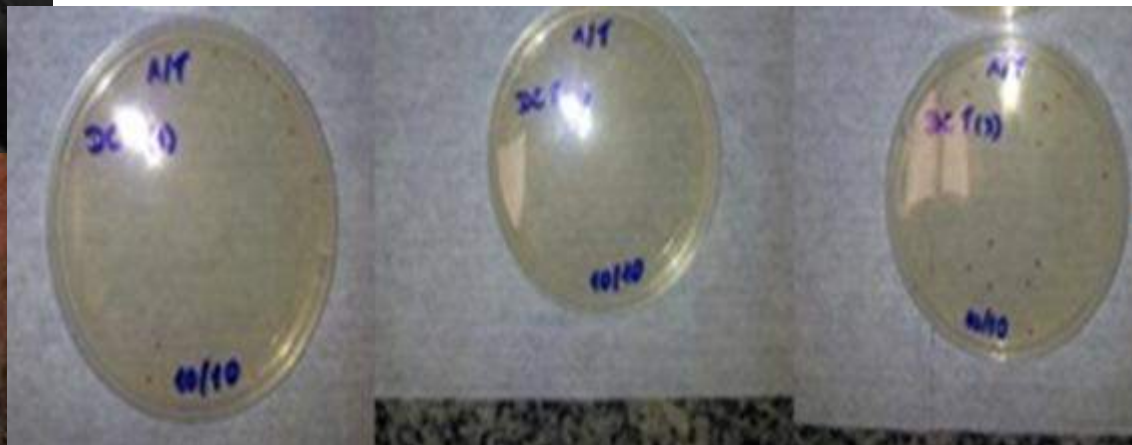
Plasma pre-treatment process of sugarcane bagasse in liquid



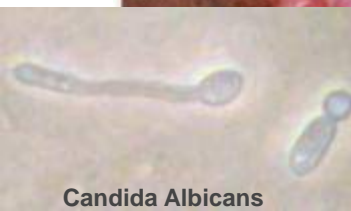
Inactivation of the candida albicans fungus



Diluted inoculum without plasma treatment

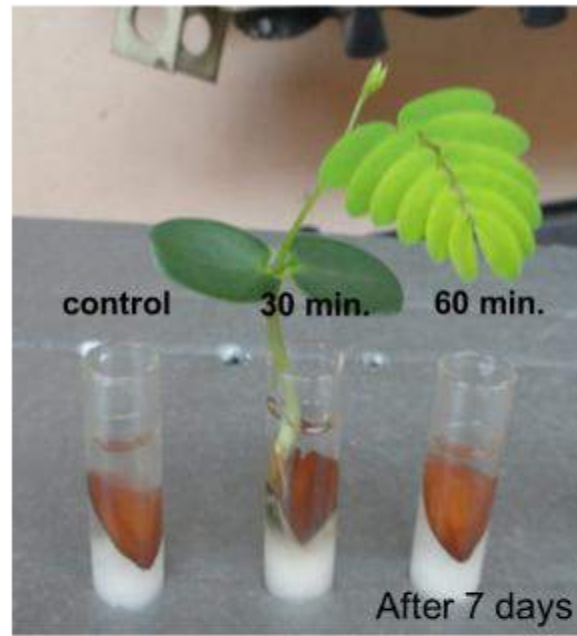
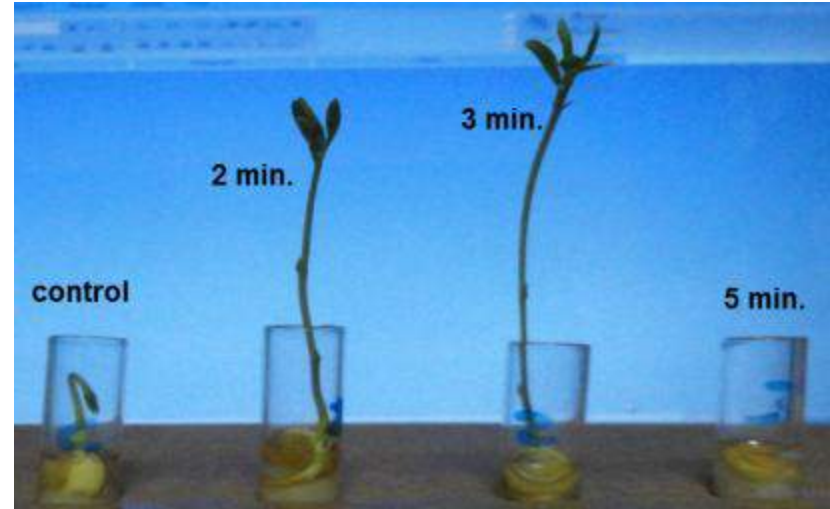
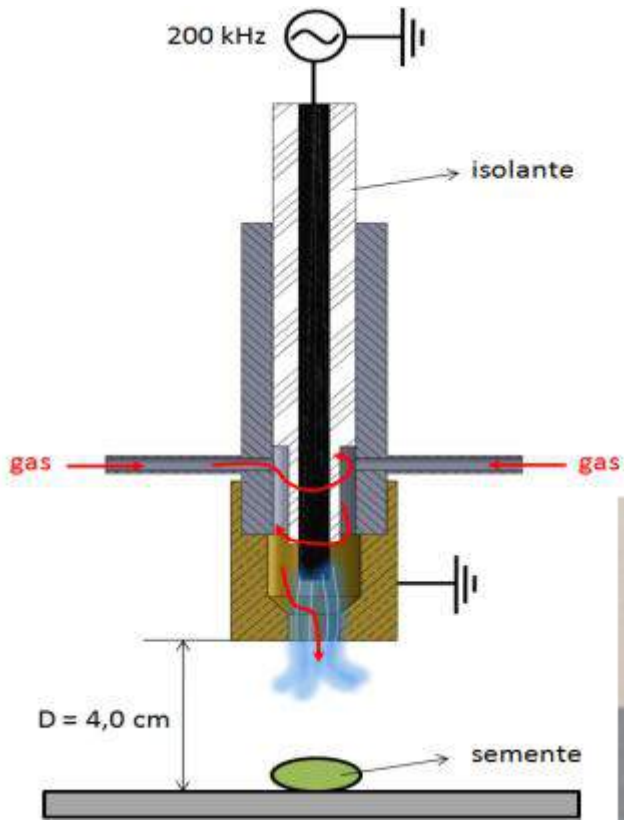


Diluted inoculum with plasma treatment



Candida Albicans

IMPROVING THE GROWTH OF "LENTIL" AND LEUCAENA BY IRRADIATION OF YOUR SEED BY ATMOSPHERIC ARGON PLASMA





ESTUDO DO EFEITO DA COMPOSIÇÃO DOS FILMES DE DLC EM SUA RESISTÊNCIA À TRIBOCORROSÃO VISANDO APLICAÇÃO EM PRÓTESES.

Polyana

polyradi@gmail.com



Tribocorrosion

Tribology

Friction,
Lubrication and
Wear

Corrosion

Chemical and
Electrochemical
interactions with
environment

Examples Systems Exposed to Corrosion



Food Processing



Oil Pipeline



Mining



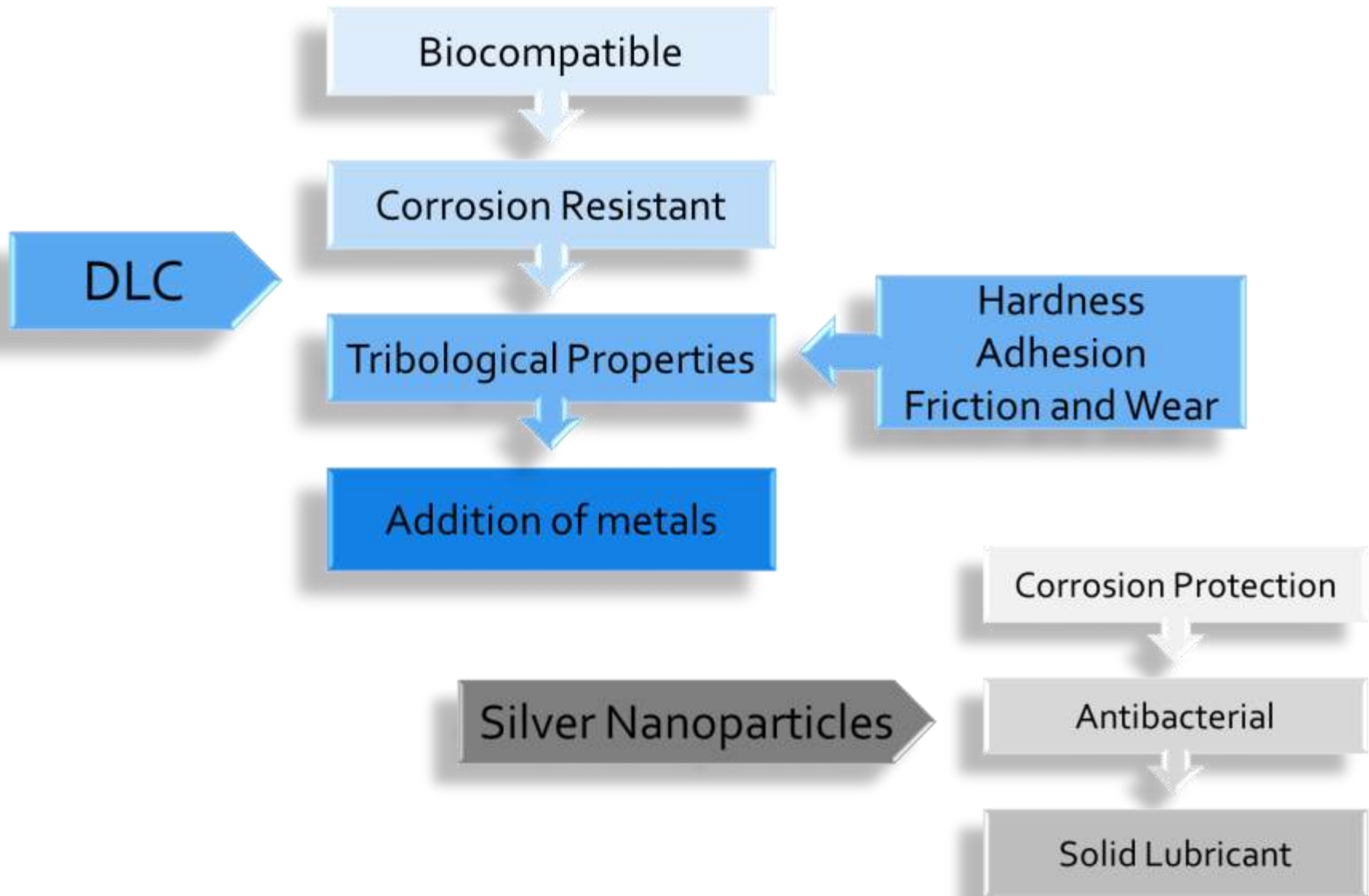
Biomedical Implants

Examples Systems Exposed to Corrosion



Próteses de joelho

Motivation



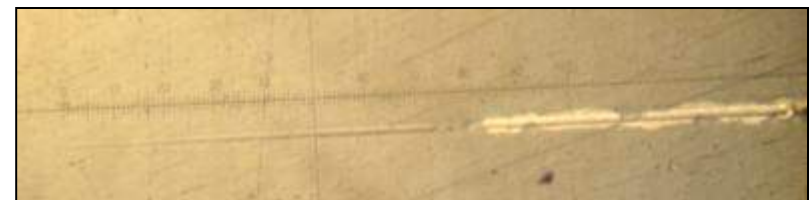
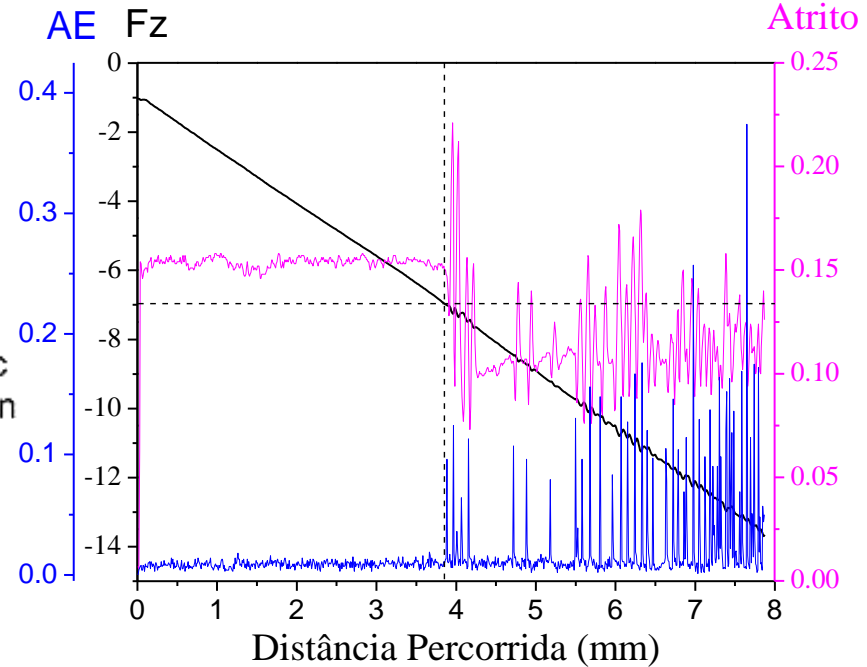
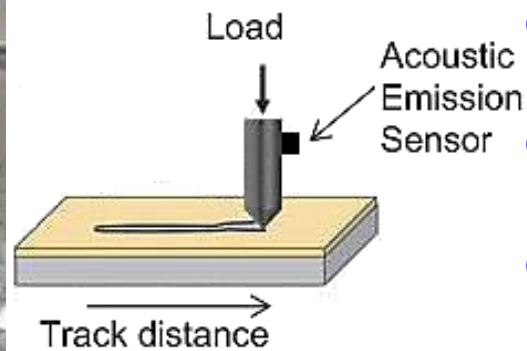
Film Deposition



- Ti6Al4V plate – substrate;
- PECVD;
- Pressure: 8×10^{-2} Torr;
- 3 μm thickness;
- 40 – 200 nm Silver Nanoparticles

	Precursor	Time	Self-bias (V)
Cleaning	Argon	30 min	700
Silicon Interlayer	Silicon	10 min	700
DLC Growth	Hexane	2 hours	400
DLC Ag Growth	Hexane with NanoSilver	2 hours	400

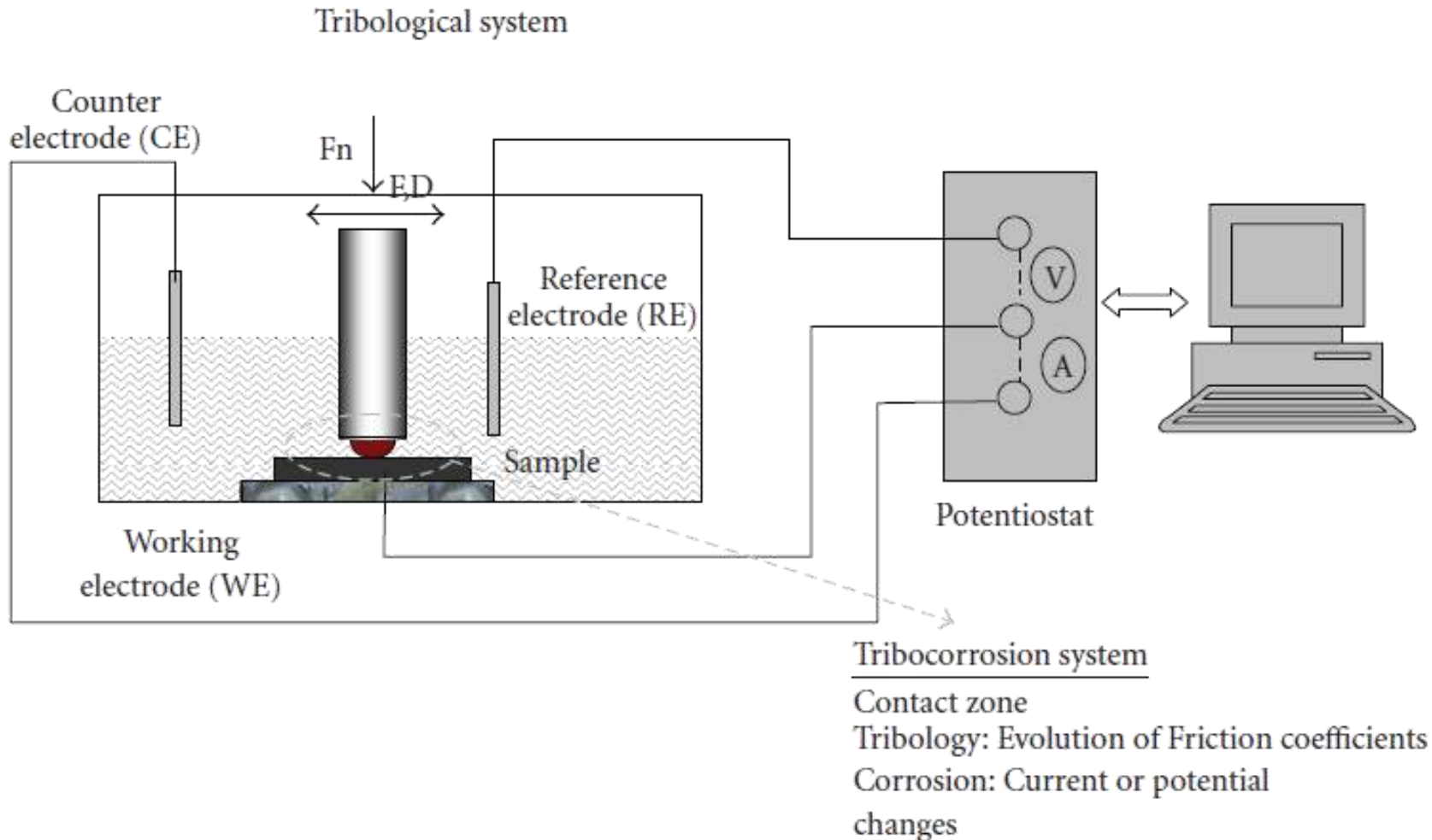
Scratching Test



ASTM C1624

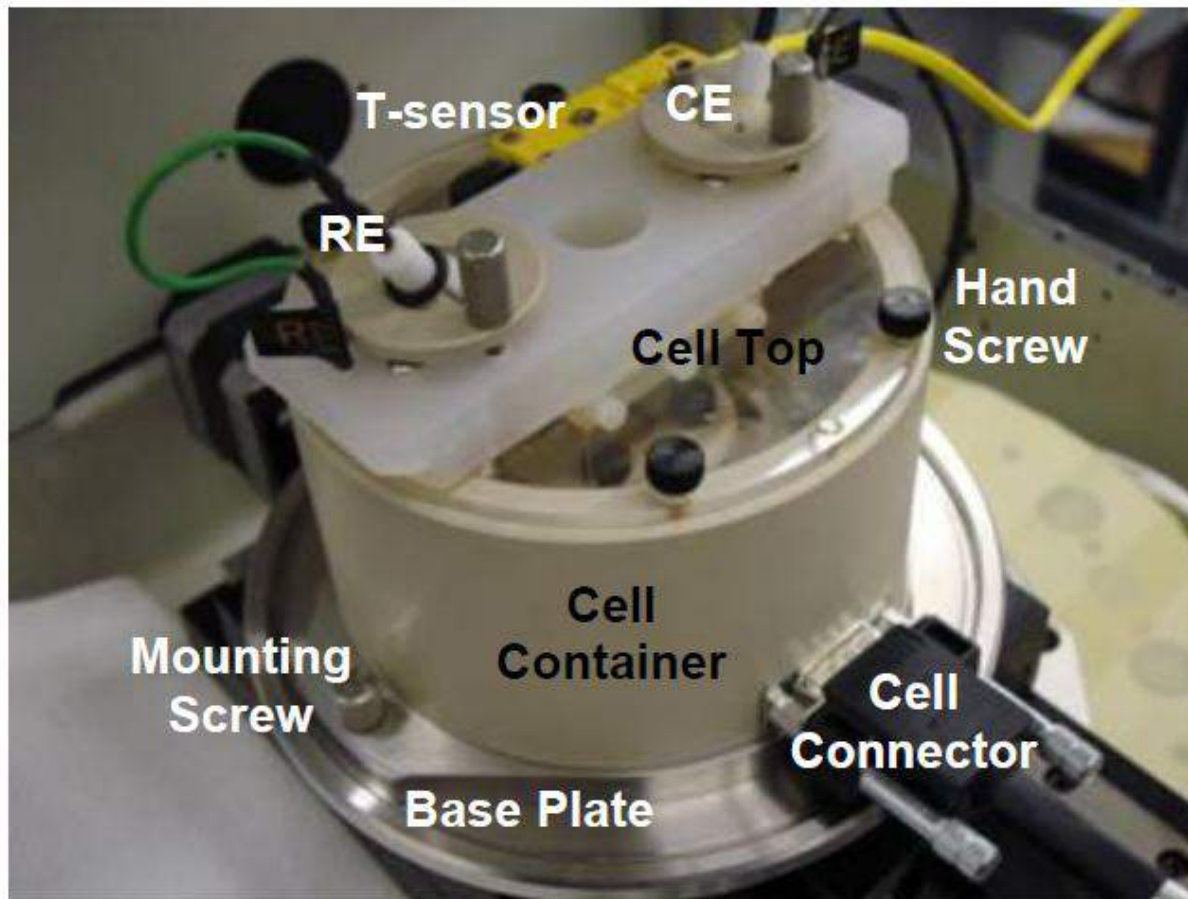
Load	2-50 N
Track Distance	10 mm
Sliding Distance	0.1 mm/s
Load Rate	0.5 N/s

Tribocorrosion Test



M. T. Mathew, P. Srinivasa Pai, R. Pourzal, A. Fischer, and M. A. Wimmer, "Significance of Tribocorrosion in Biomedical Applications: Overview and Current Status," *Advances in Tribology*, vol. 2009, Article ID 250986, 12 pages, 2009. doi:10.1155/2009/250986

Tribocorrosion Test



T1: OCP Measurements

T2: Electrochemical
Polarization-No-Wear

-2,5 - 2,5V

T3: Electrochemical
Polarization-with-Wear

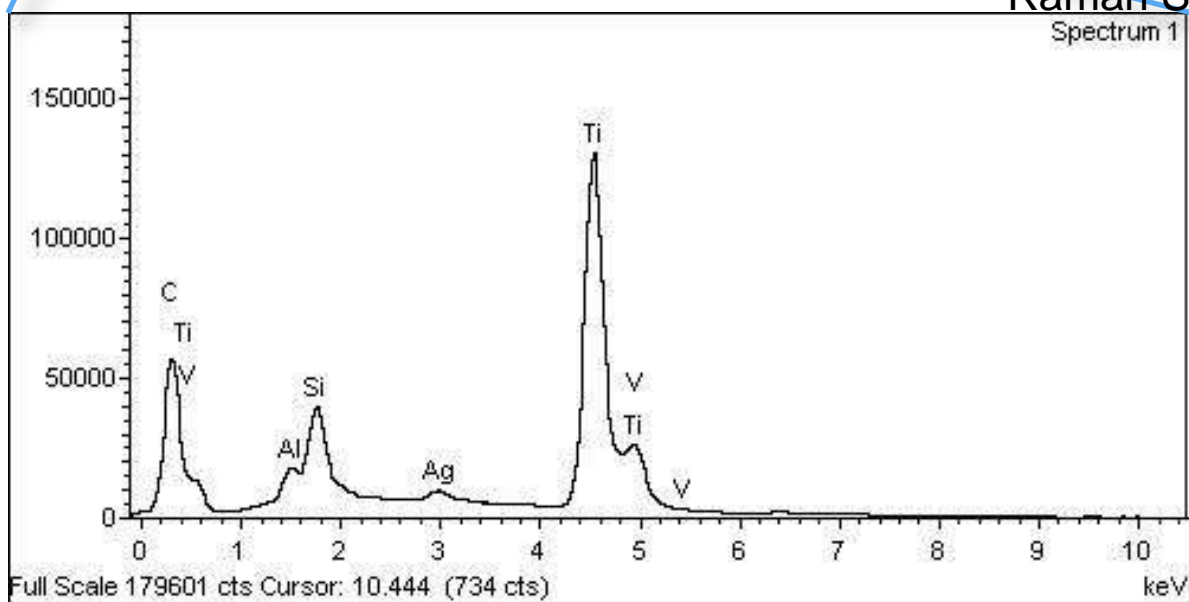
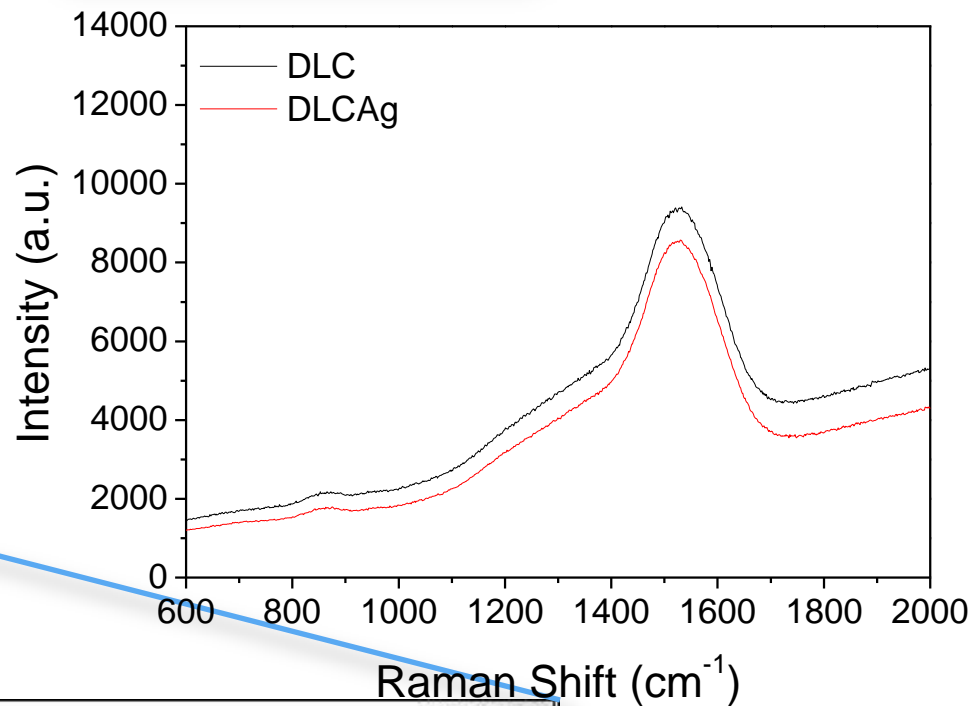
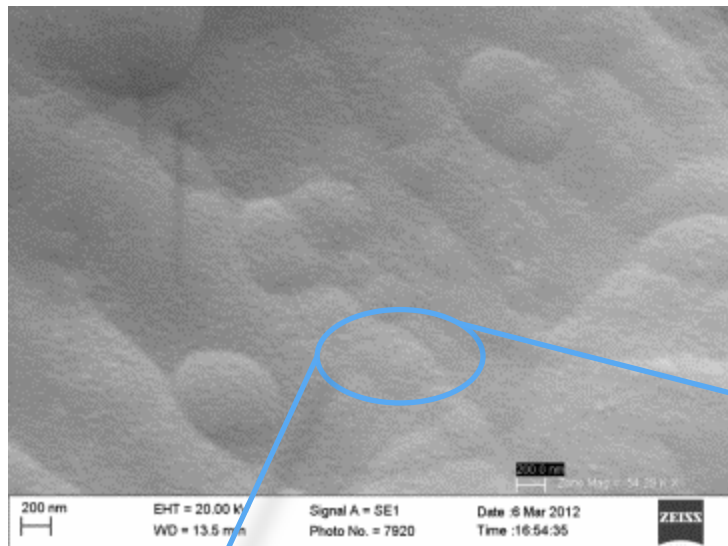
-2,5 - 2,5V

T4: Wear 1V-Cathodic

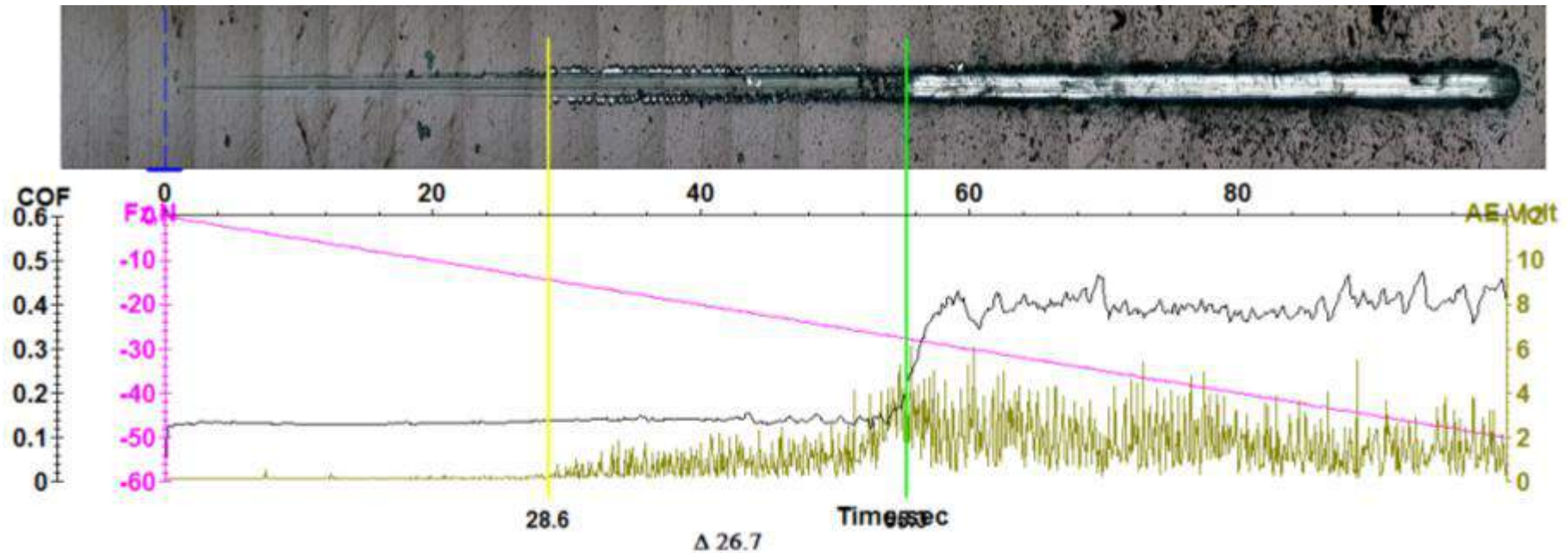
T5: Tribocorrosion

Load	5 N
Track Distance	2 mm
Frequency	0,5 Hz

DLC

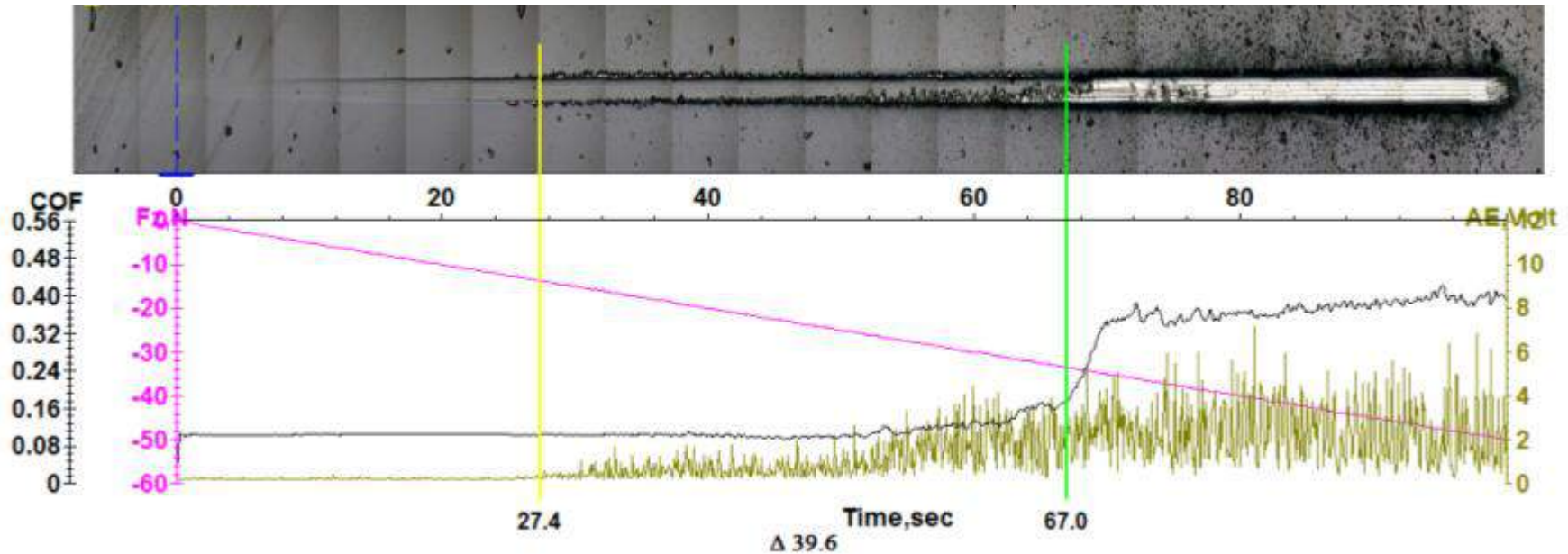


Scratching Test : DLC



Hexane	
LC1	14,31 N
LC2	27,81 N

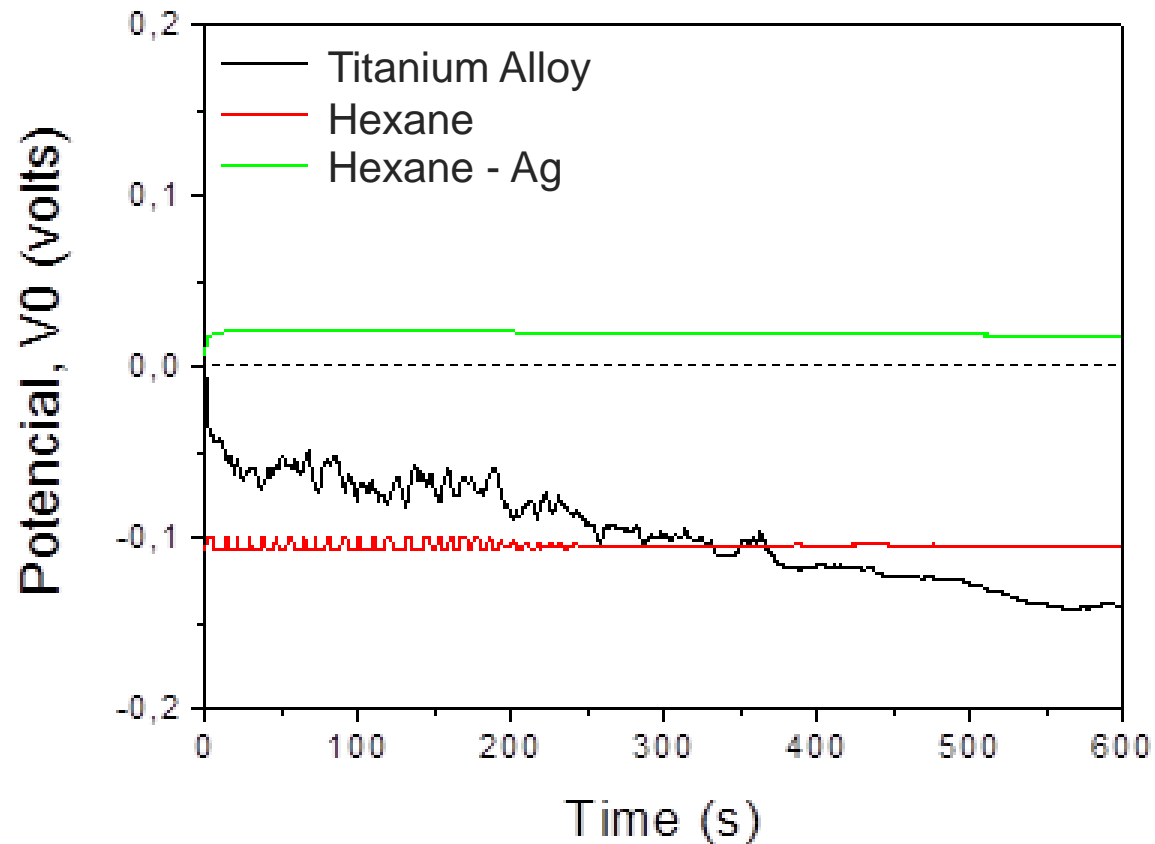
Scratching Test : DLC-Ag



Hexane - Ag

LC1	14,31 N
LC2	33,27 N

Open Circuit Potential Measurements



Electrochemical Polarization-No-Wear



Alloy Ti6Al4V

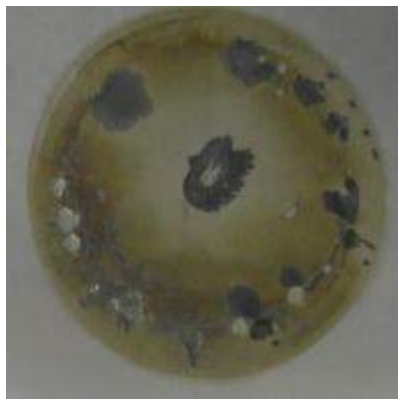


Ti-DLC



Ti-DLC-Ag

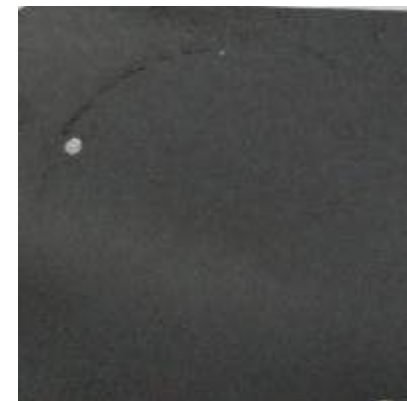
Electrochemical Polarization-with-Wear



Alloy Ti6Al4V



Ti-DLC



Ti-DLC-Ag

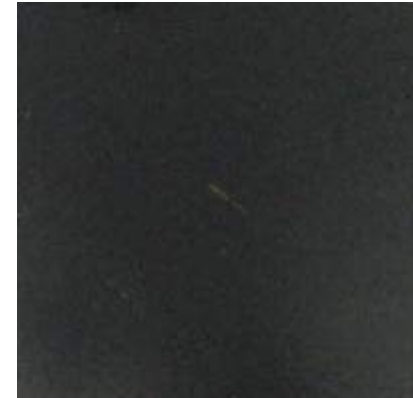
Wear 1V-Cathodic



Alloy Ti6Al4V

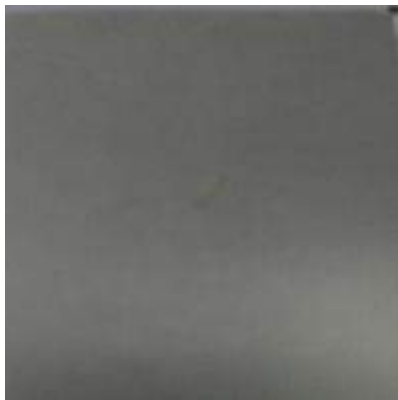


Ti-DLC



Ti-DLC-Ag

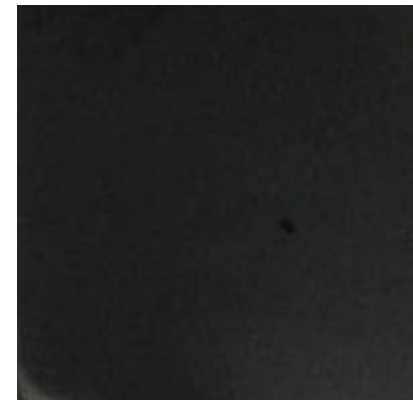
Tribocorrosion



Alloy Ti6Al4V

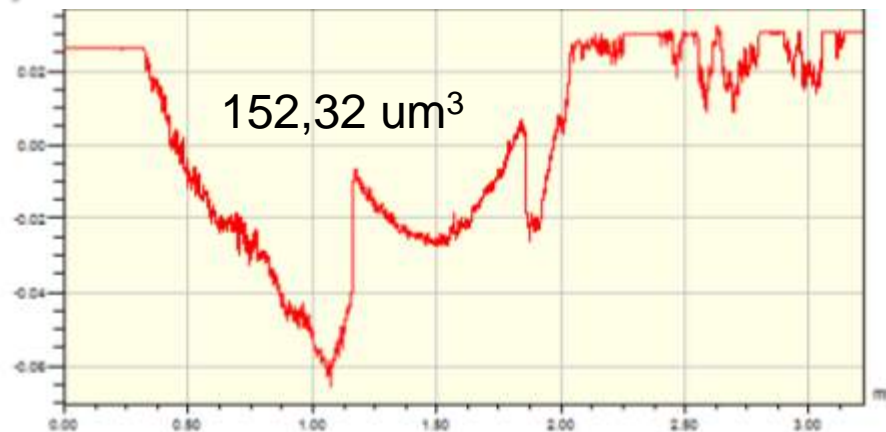


Ti-DLC

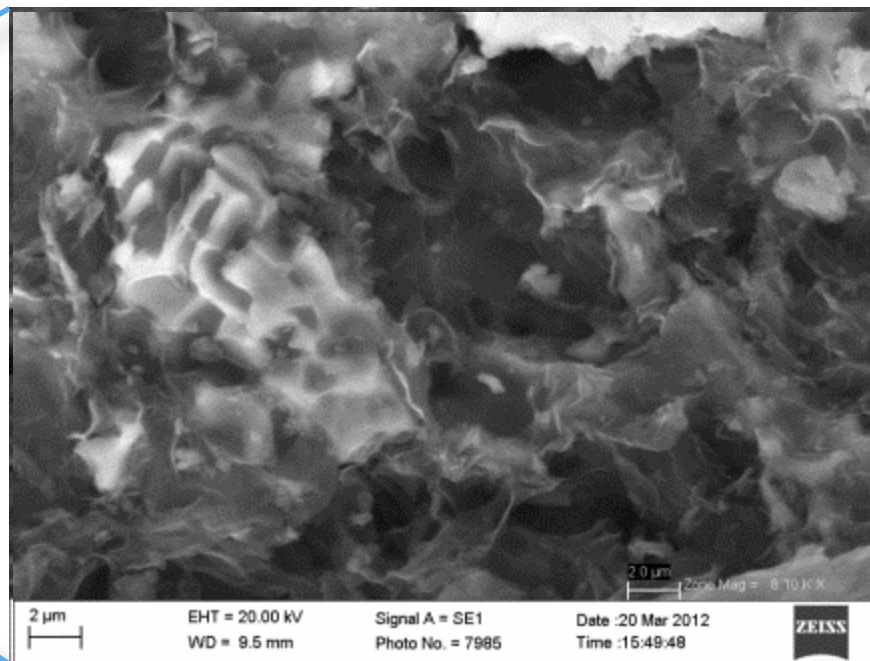
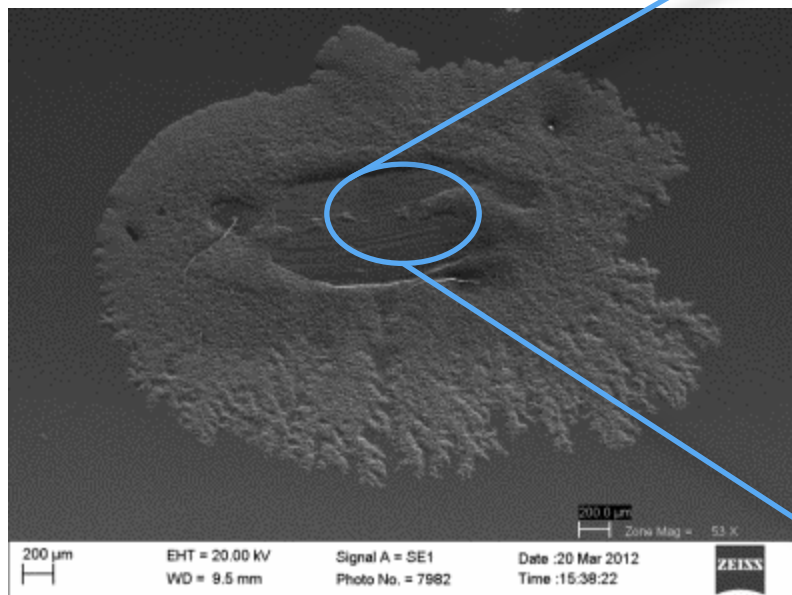


Ti-DLC-Ag

Titanium Alloy - Electrochemical Polarization-with-Wear



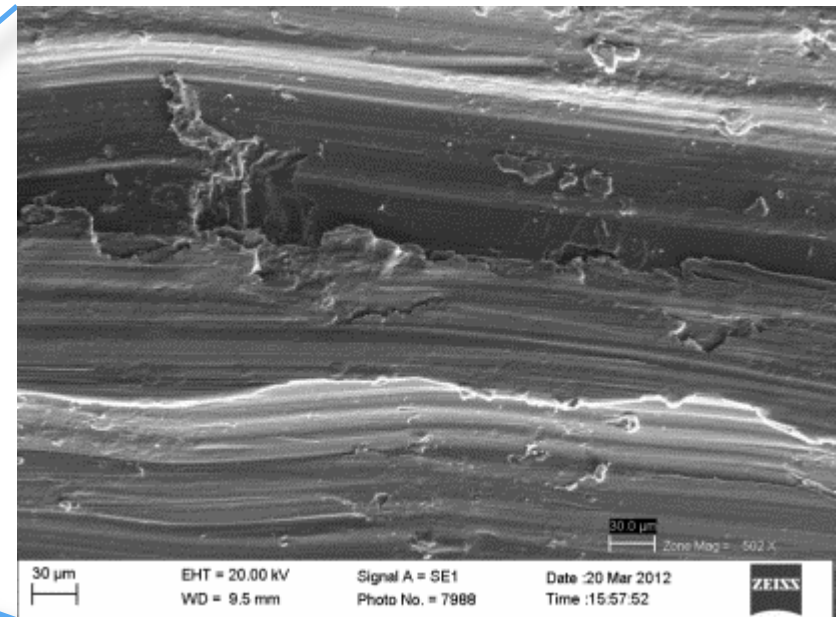
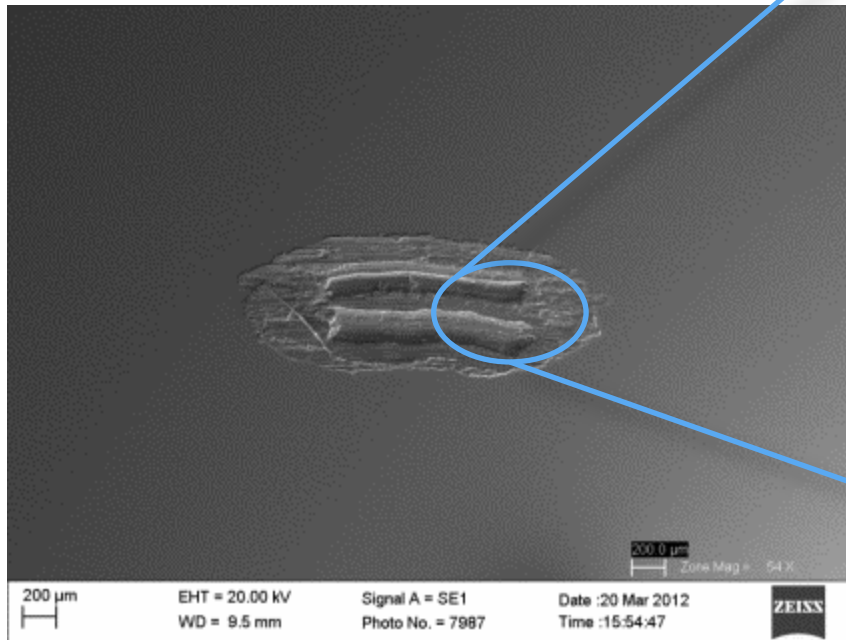
μ : 0,33



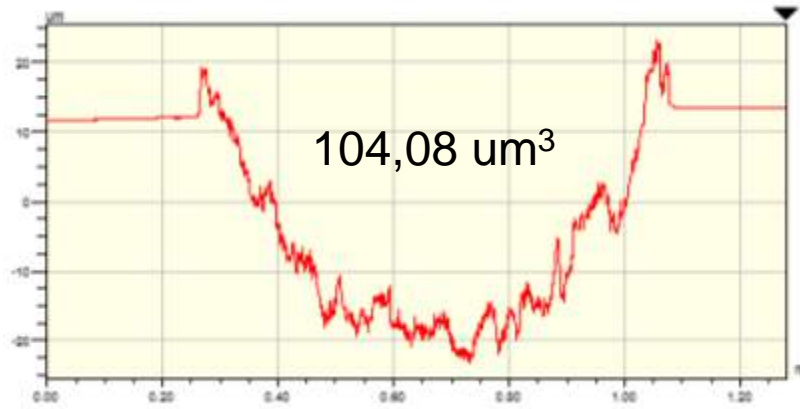
Titanium Alloy - Wear 1V-Cathodic



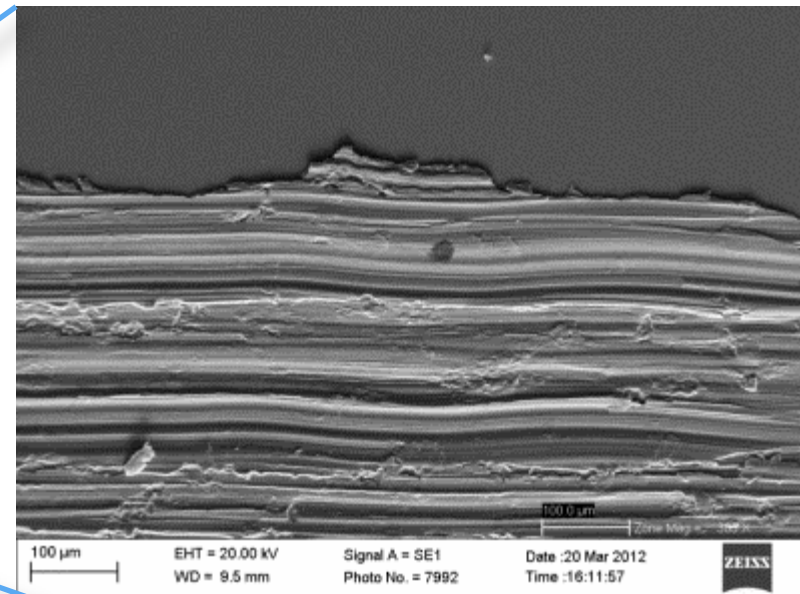
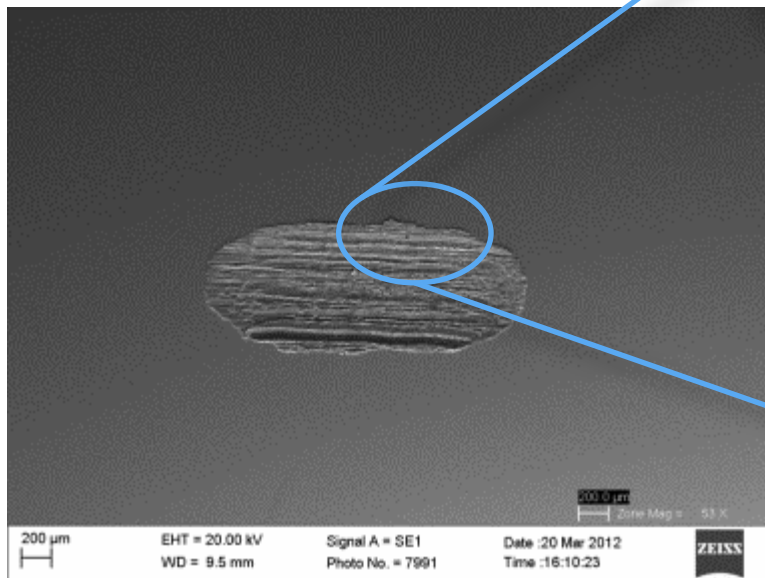
μ : 0,40



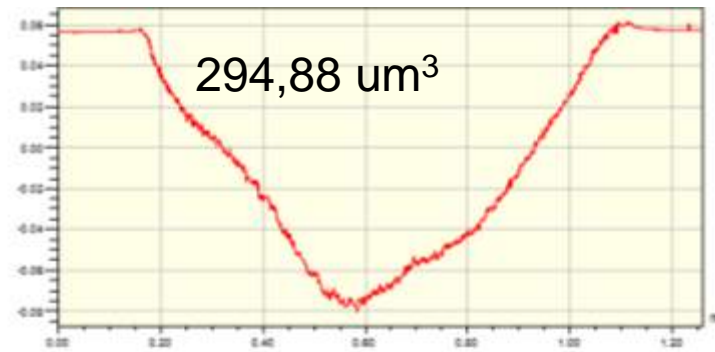
Titanium Alloy - Tribocorrosion



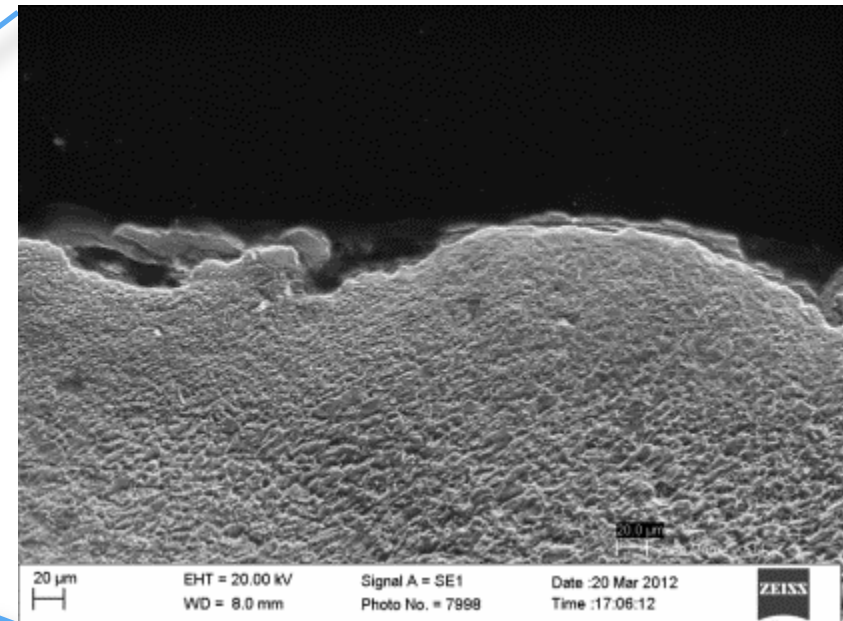
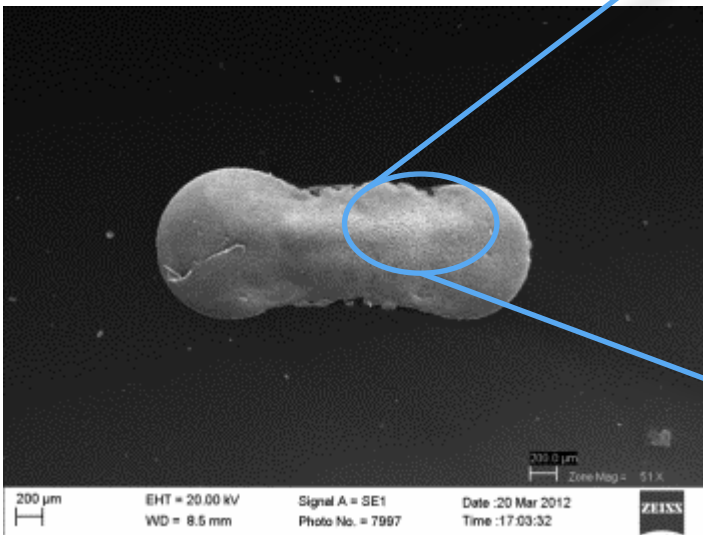
μ : 0,32



DLC- Electrochemical Polarization-with-Wear



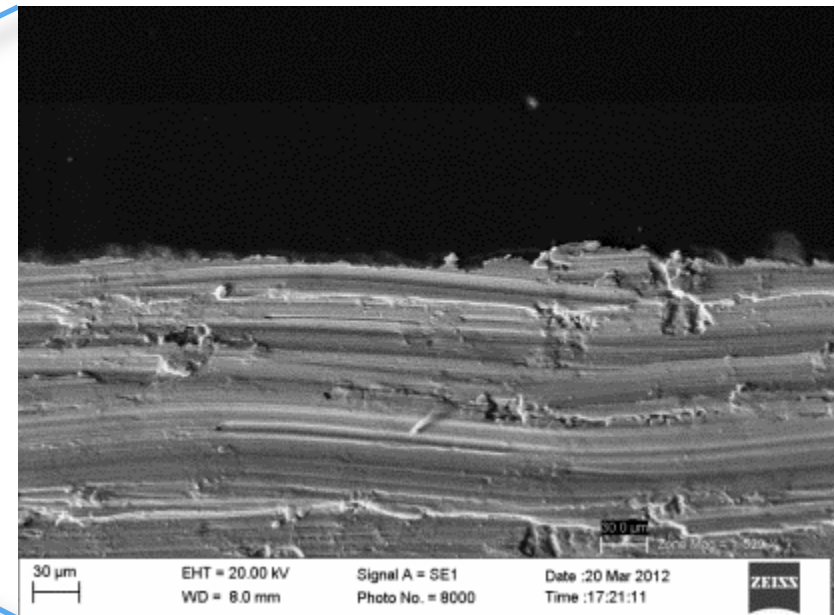
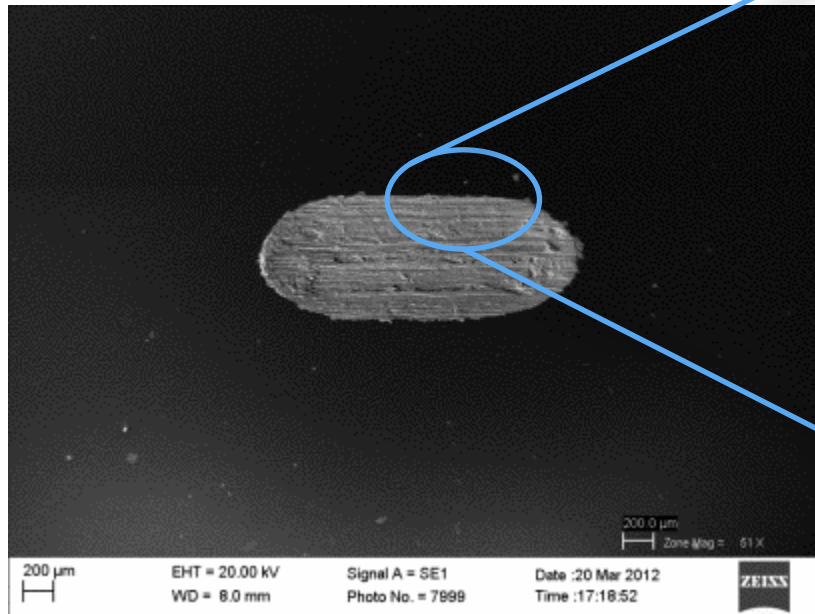
μ : 0,09



DLC-Wear 1V-Cathodic



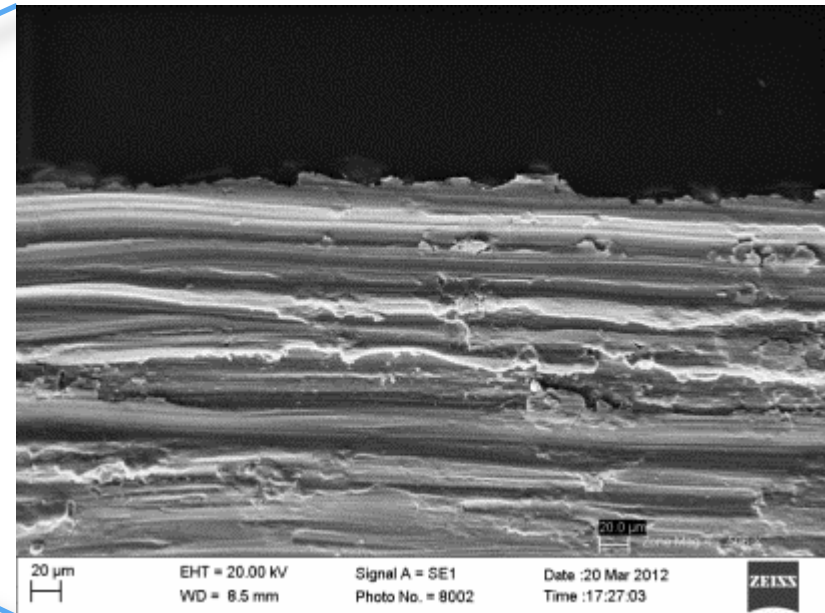
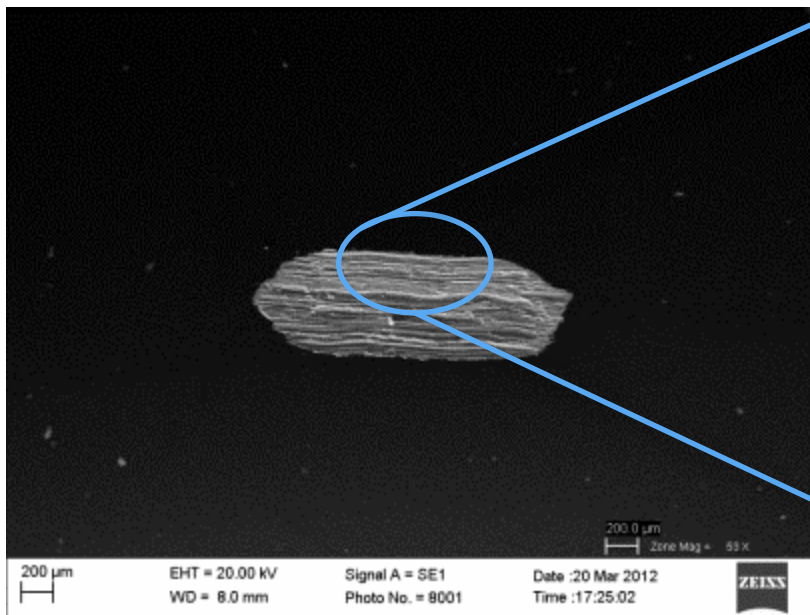
μ : 0,25



DLC-Tribocorrosion



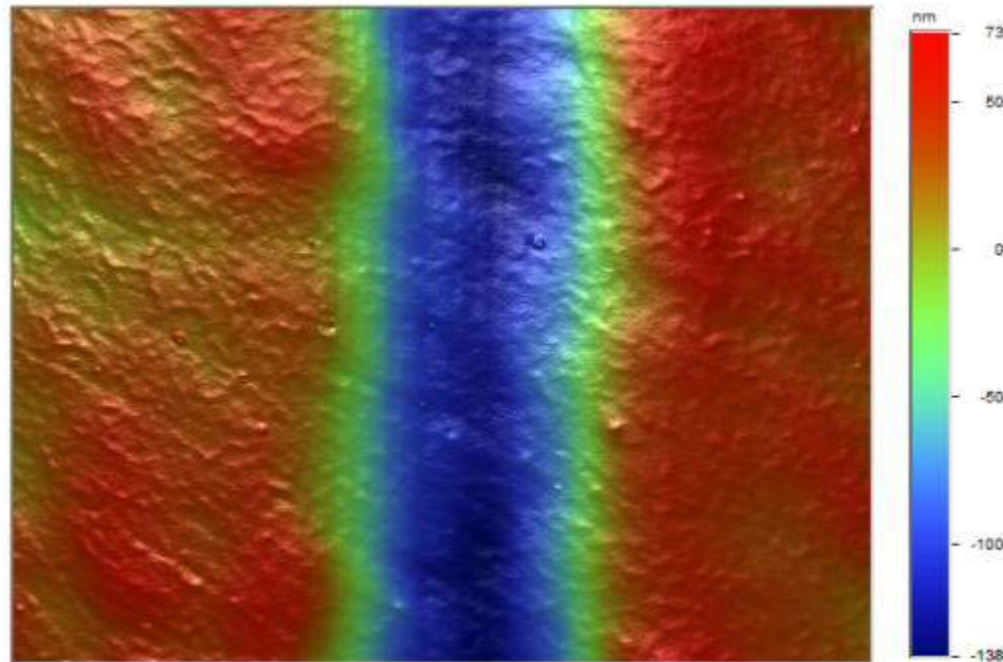
μ : 0,32



DLC-Ag: Electrochemical Polarization-with-Wear



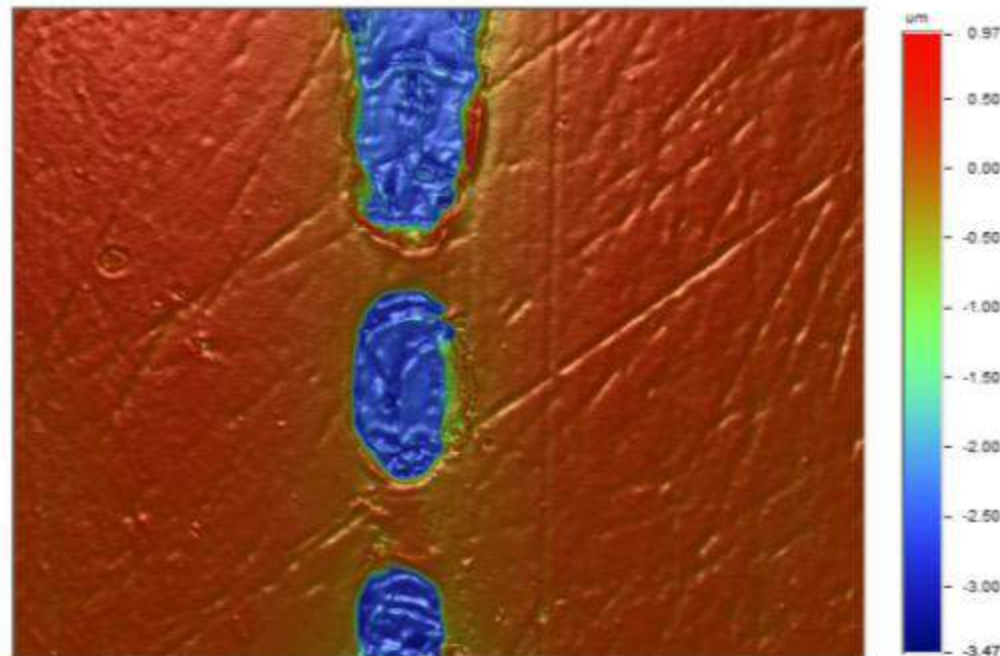
μ : 0,07



DLC-Ag: Wear 1V-Cathodic



μ : 0,08



DLC-Ag: Tribocorrosion



μ : 0,08



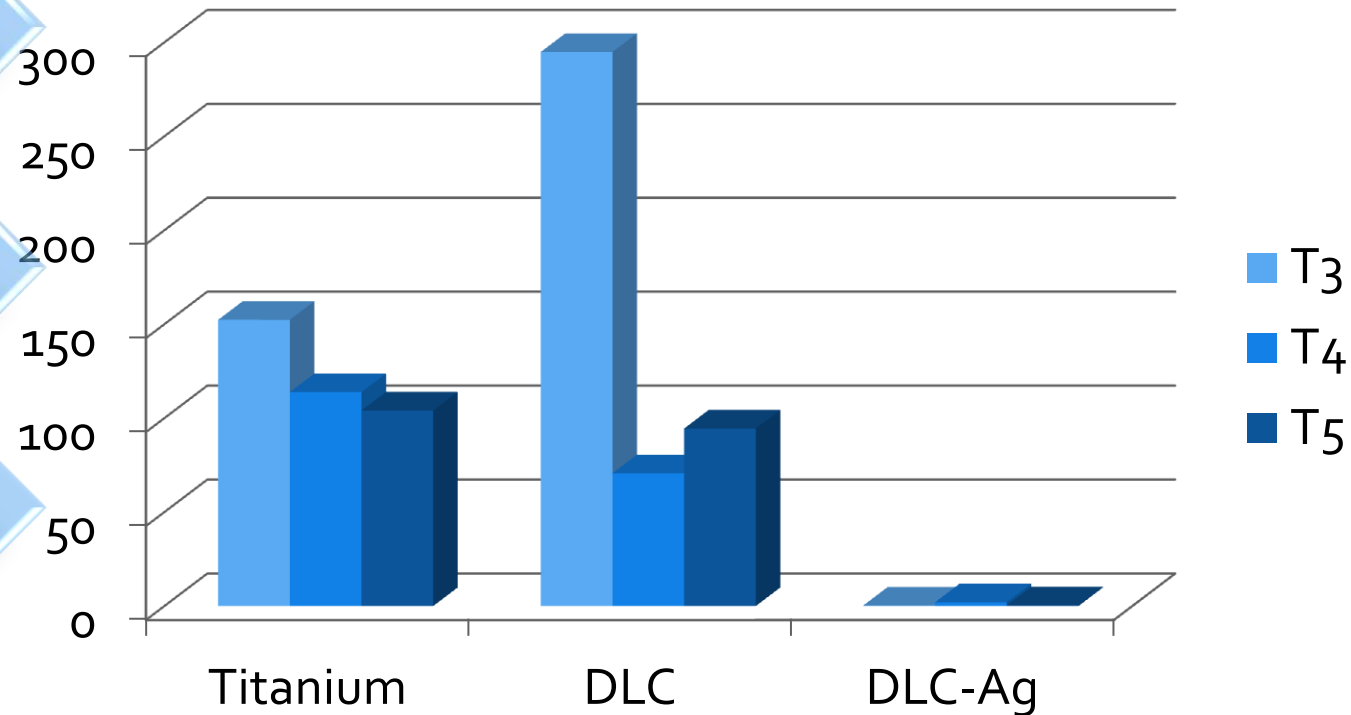
Conclusions – Wear Volume

T₃: Electrochemical
Polarization-with-Wear

-2,5 - 2,5V

T₄: Wear 1V-Cathodic

T₅: Tribocorrosion



	Titanium	DLC	DLC-Ag
T ₃	152,32	294,88	0,32
T ₄	113,84	70,64	2
T ₅	104,08	94,48	0,4

Conclusions – Protective efficiency

$$Ef(\%) = \left[1 - \left(\frac{i_{corr}^{\text{filme}}}{i_{corr}^{\text{substrato}}} \right) \right] \times 100$$

EFICIÊNCIA PROTETIVA (%)		
Filme	PE	PE+A
DLC	15	2
DLC-Ag	19	2

Aplicação

Prótese de estoque W. Lorenz

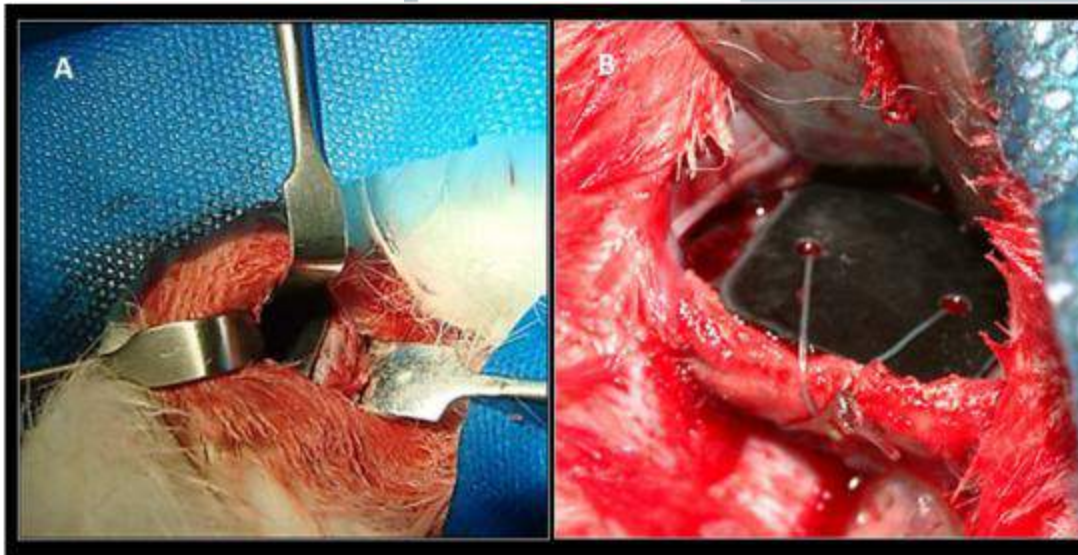
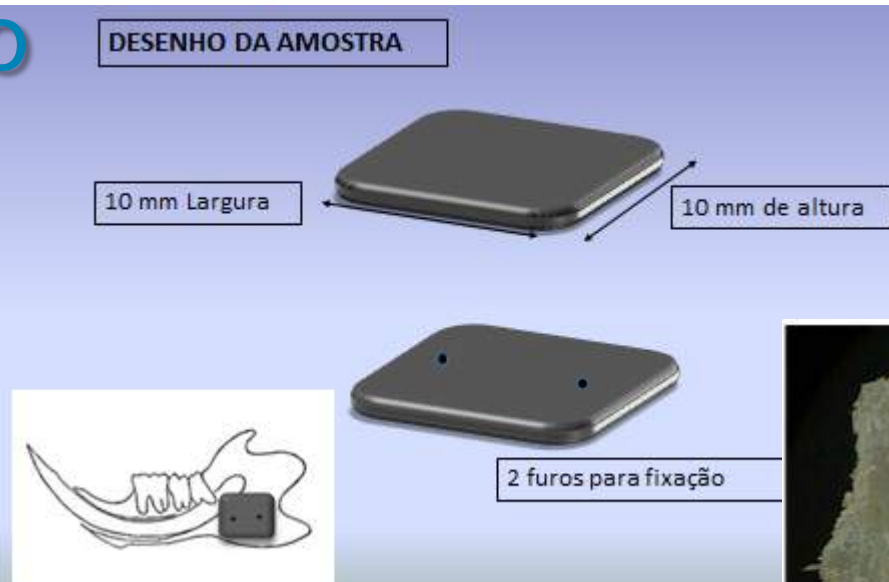


Prótese Customizada -
TMJ Concept

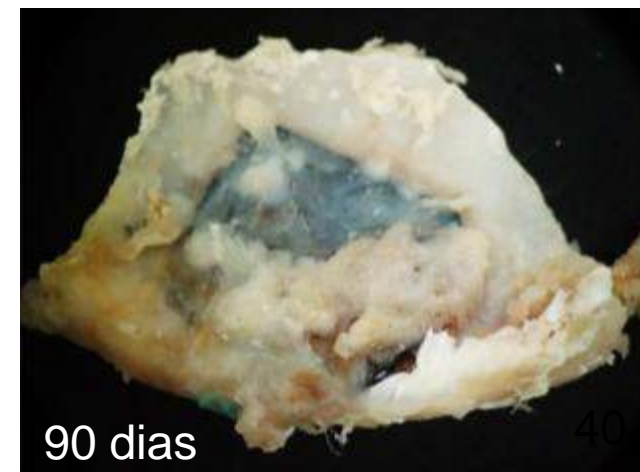
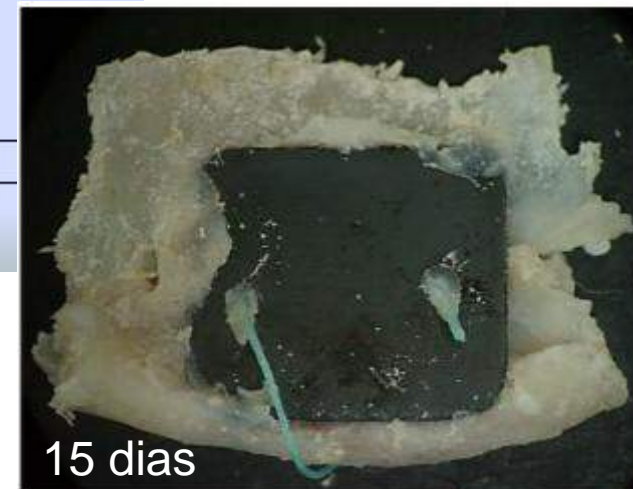


Aplicação

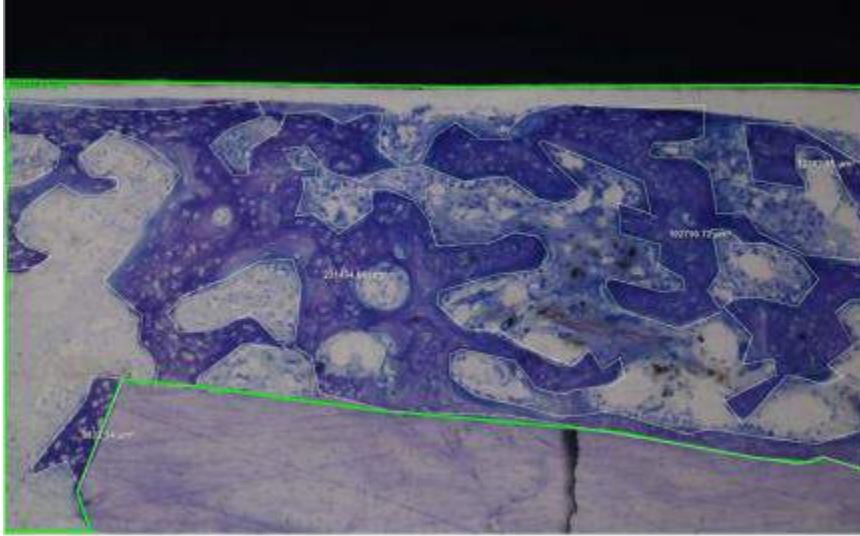
50 AMOSTRAS (Ti6Al4V)
15 COM DLC
15 DLC-Ag
20 CONTROLES



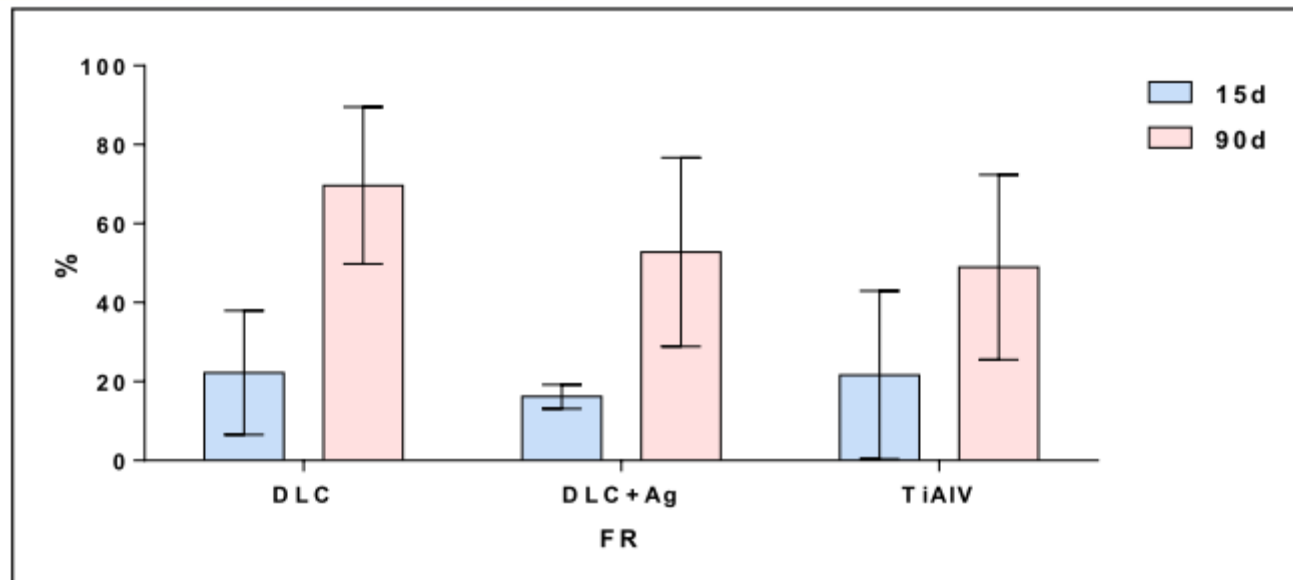
A) Amostra posicionada no osso na região do ângulo mandibular do coelho; e B) Amostra fixada.



Neoformação óssea



Corados em azul de toluidina, mostrando linha verde delimitando área total da interface osso-amostra e linha branca contornando áreas de neoformação óssea. Aumento original de 10x.



Thanks for your Attention and Interest...



Thanks for National Agencies for the
Financial Support.



Tribocorrosão e Sinergia

OCP

- Nem potencial e nem corrente são aplicados

Polarização Eletroquímica

- Varredura entre duas tensões determinadas

PE + desgaste

- Varredura entre duas tensões + atrito

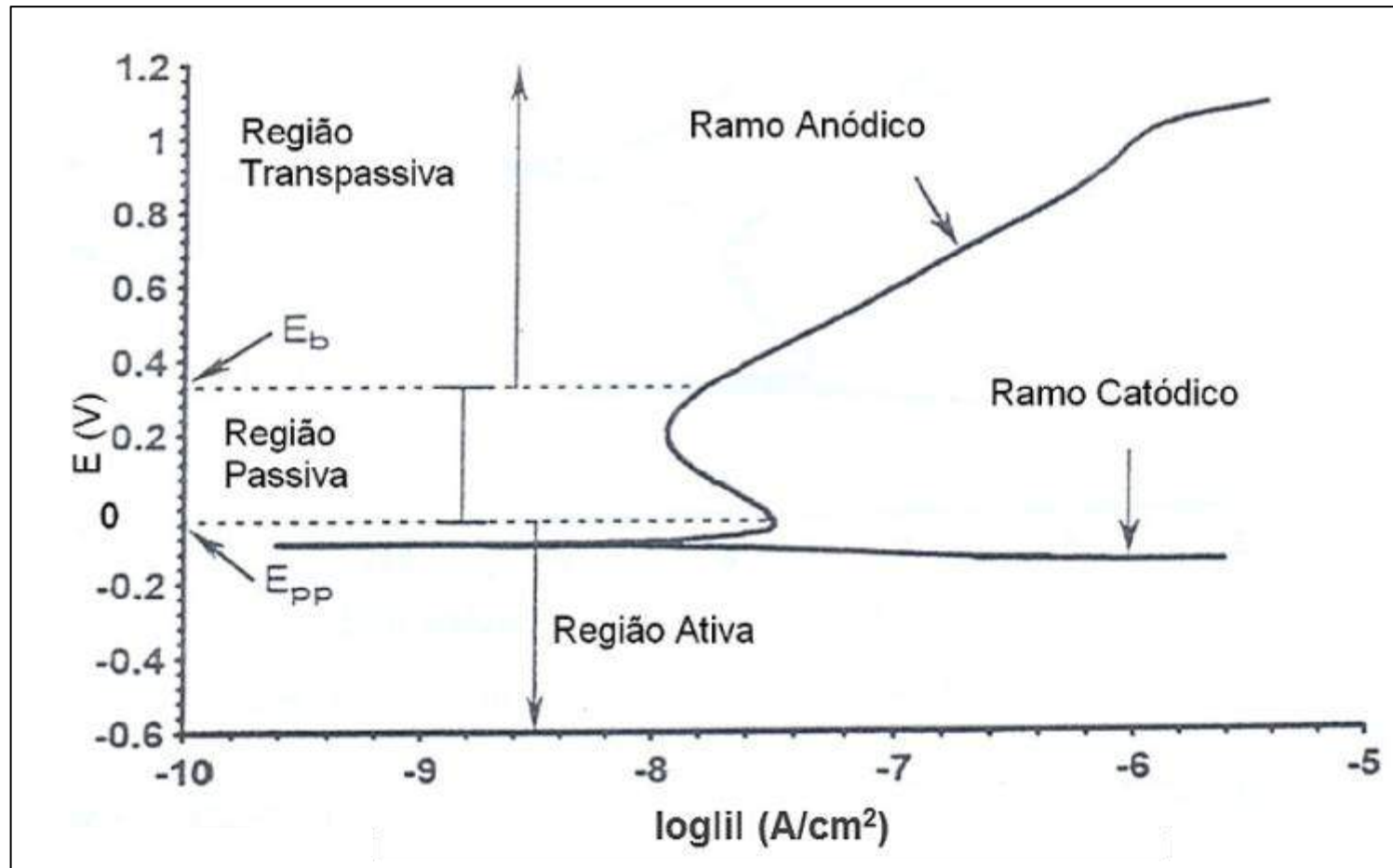
Desgaste (+1 V)

- Atrito com proteção catódica

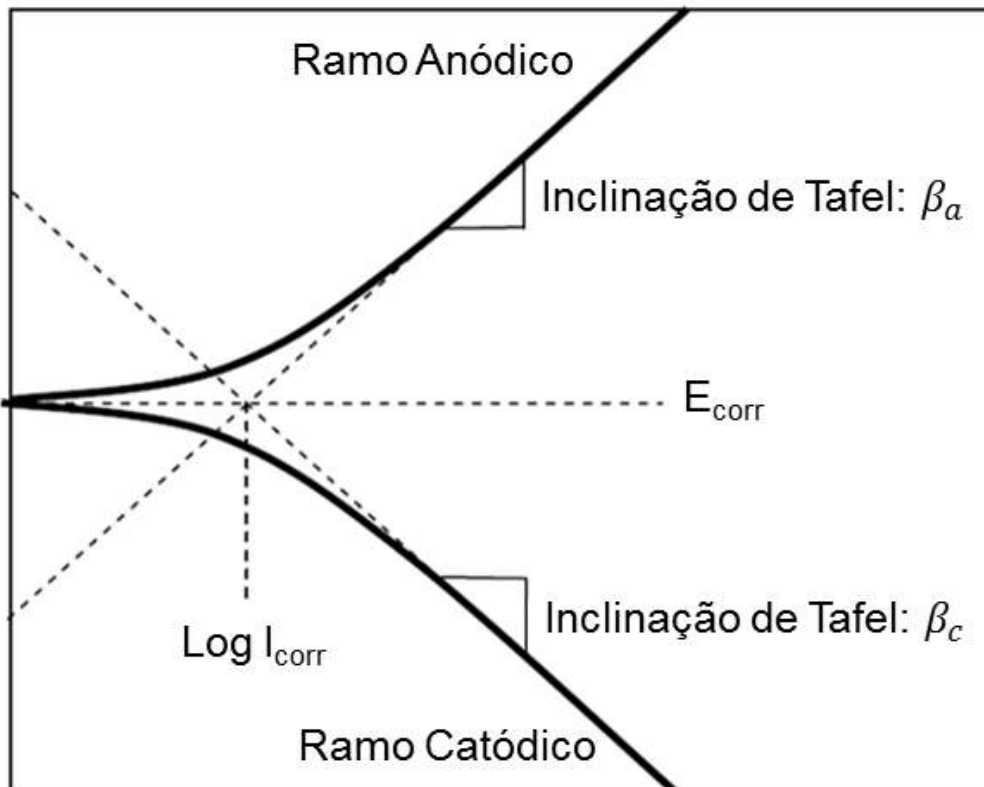
Tribocorrosão

- Atrito sem aplicação de potencial

Corrosão



Extrapolação da curva de Tafel



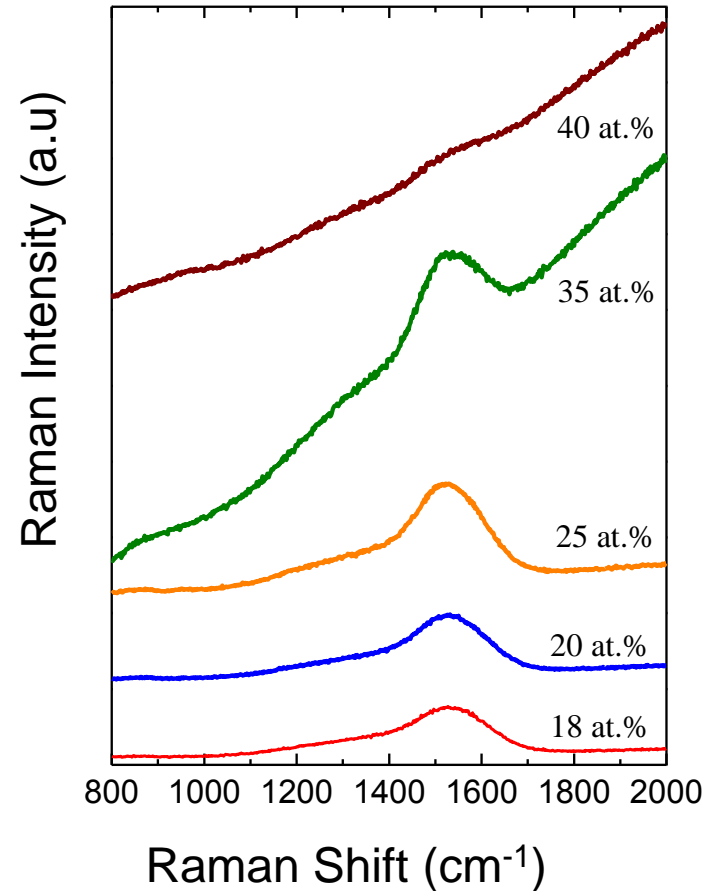
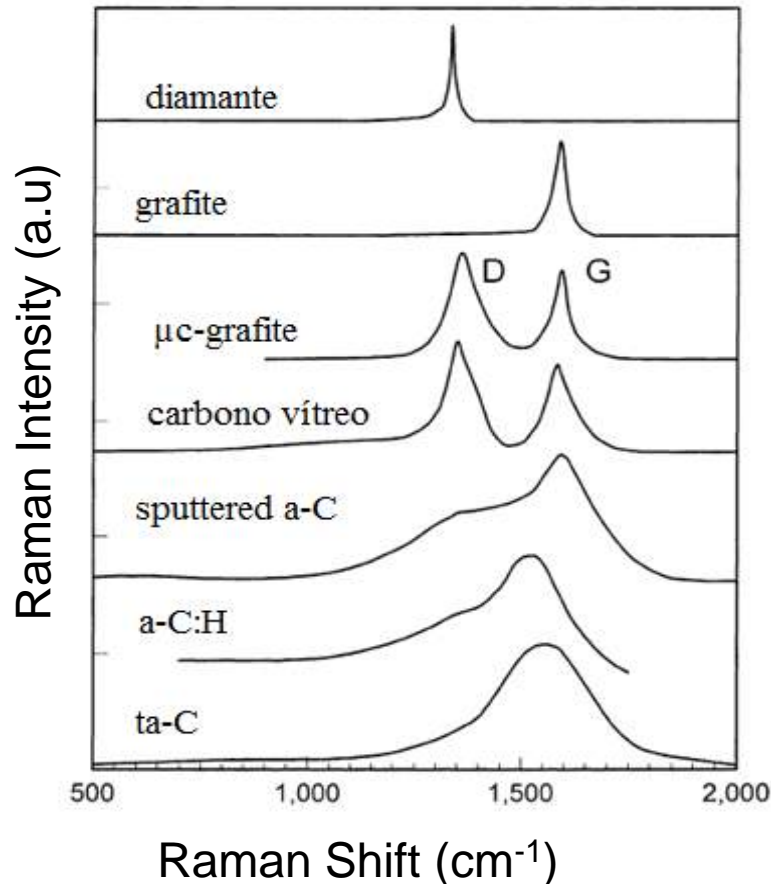
Eficiência protetiva do filme:

$$Ef(\%) = \left[1 - \left(\frac{i_{corr}}{i_{corr}^0} \right) \right] \times 100$$

i_{corr} e i_{corr}^0 é a densidade de corrente de corrosão do filme e do substrato

Alberti, E.L. Desenvolvimento de técnicas de diagnóstico da corrosão de pés de torres de linhas de transmissão, por meio de aplicação de técnicas eletroquímicas. Curitiba-PR, UFPR, 2004. 94p.

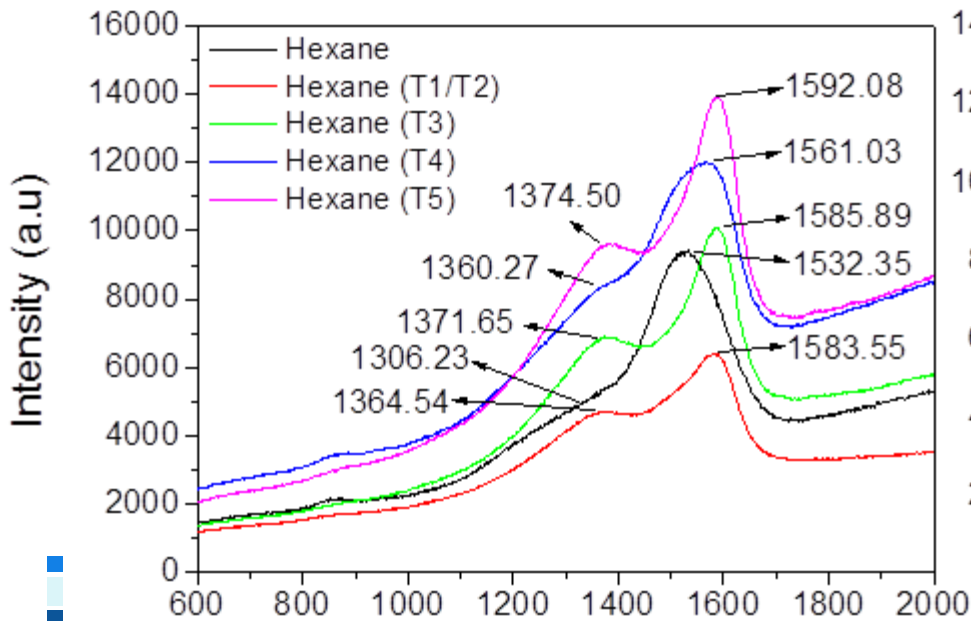
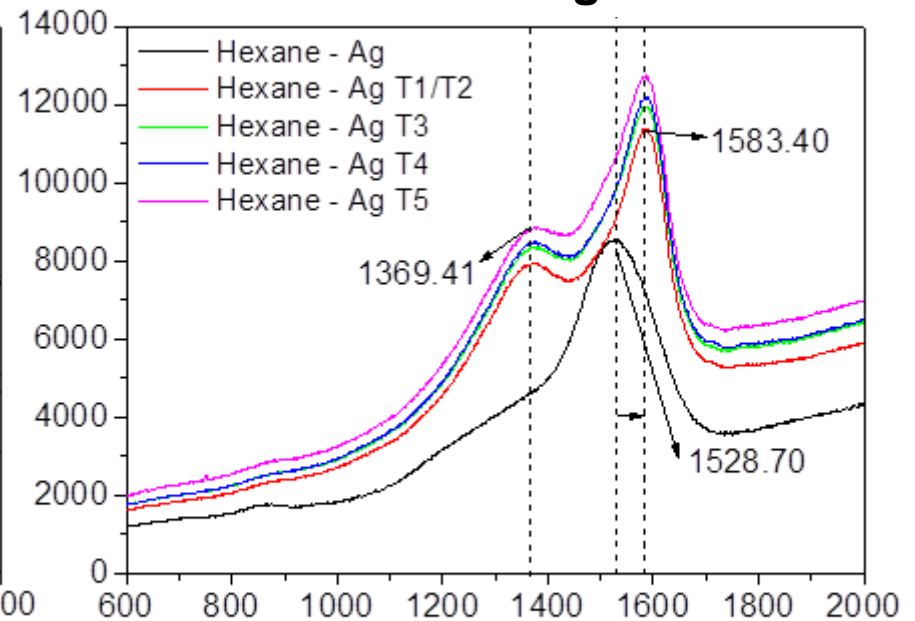
Film Deposition



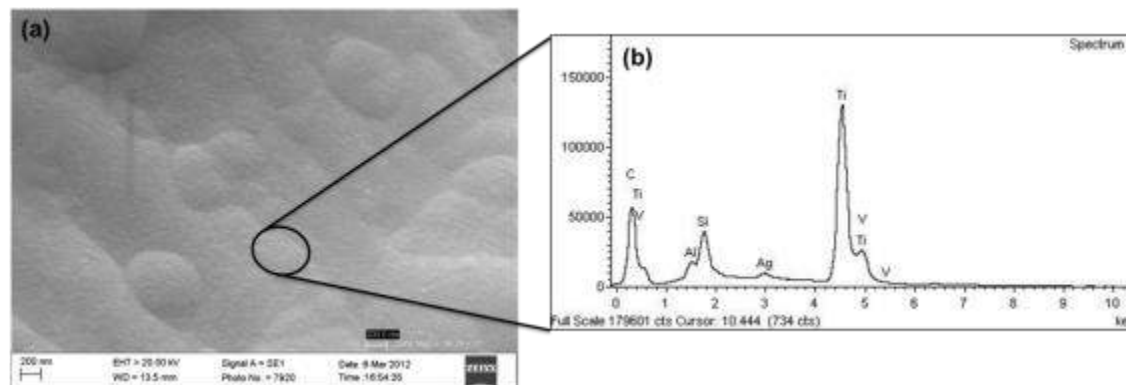
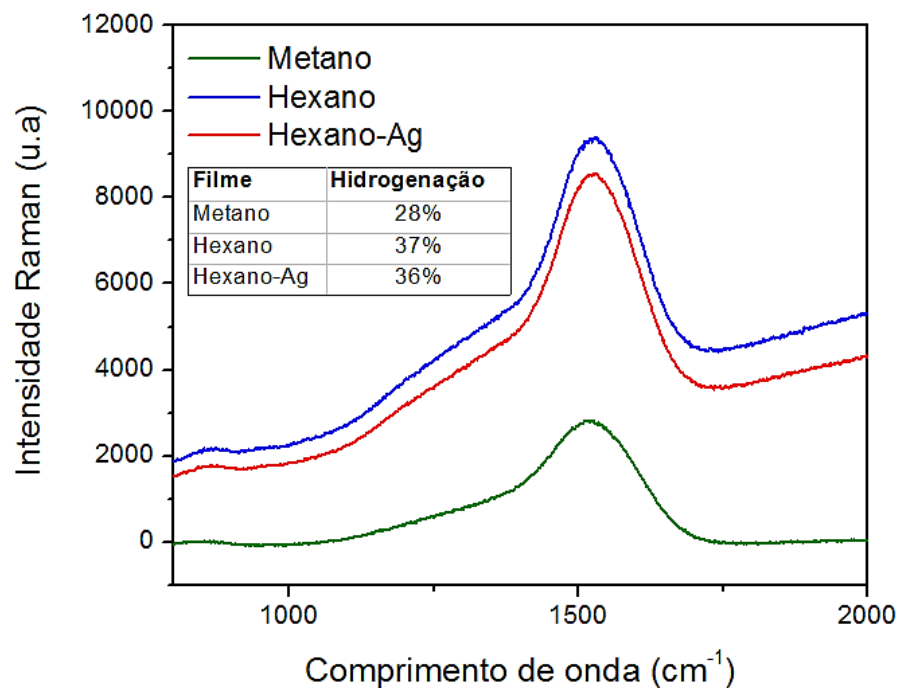
SILVA, S.R.P., ROBERTSON, J., MILNE, W.I., and AMARATUNGA, G.A.J. **Deposition mechanism of diamond-like carbon.** In: **Amorphous Carbon: State of the Art.** World Scientific Publishing, Singapore, 32-45.

BONETTI, L. F. **Otimização das propriedades mecânicas e tribológicas de filmes de DLC crescidos sobre substratos metálicos objetivando aplicações espaciais e industriais.** Tese (Doutorado em Ciências). Instituto Tecnológico de Aeronáutica, São José dos Campos, 2008.

Raman Analyses

DLC**DLC - Ag**

Efeito da Composição do Filme Resistência à corrosão

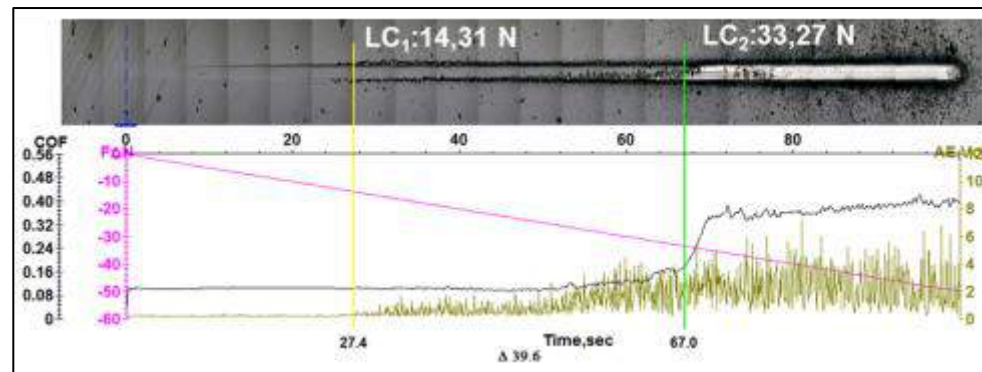
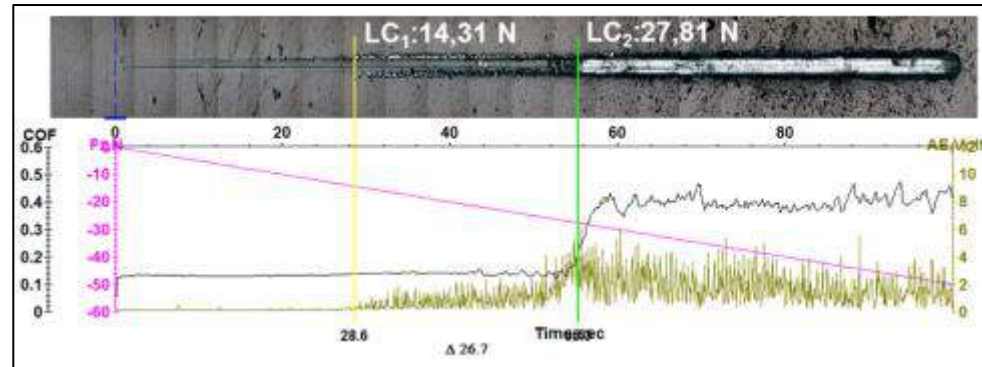
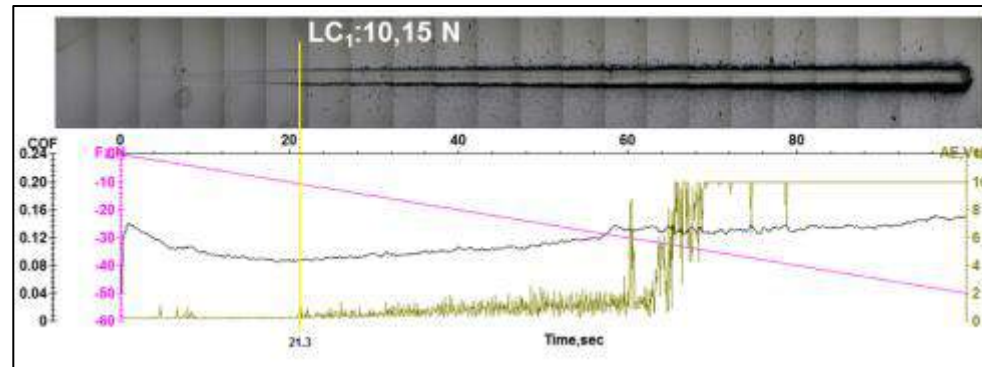


Efeito da Composição do Filme Resistência à corrosão

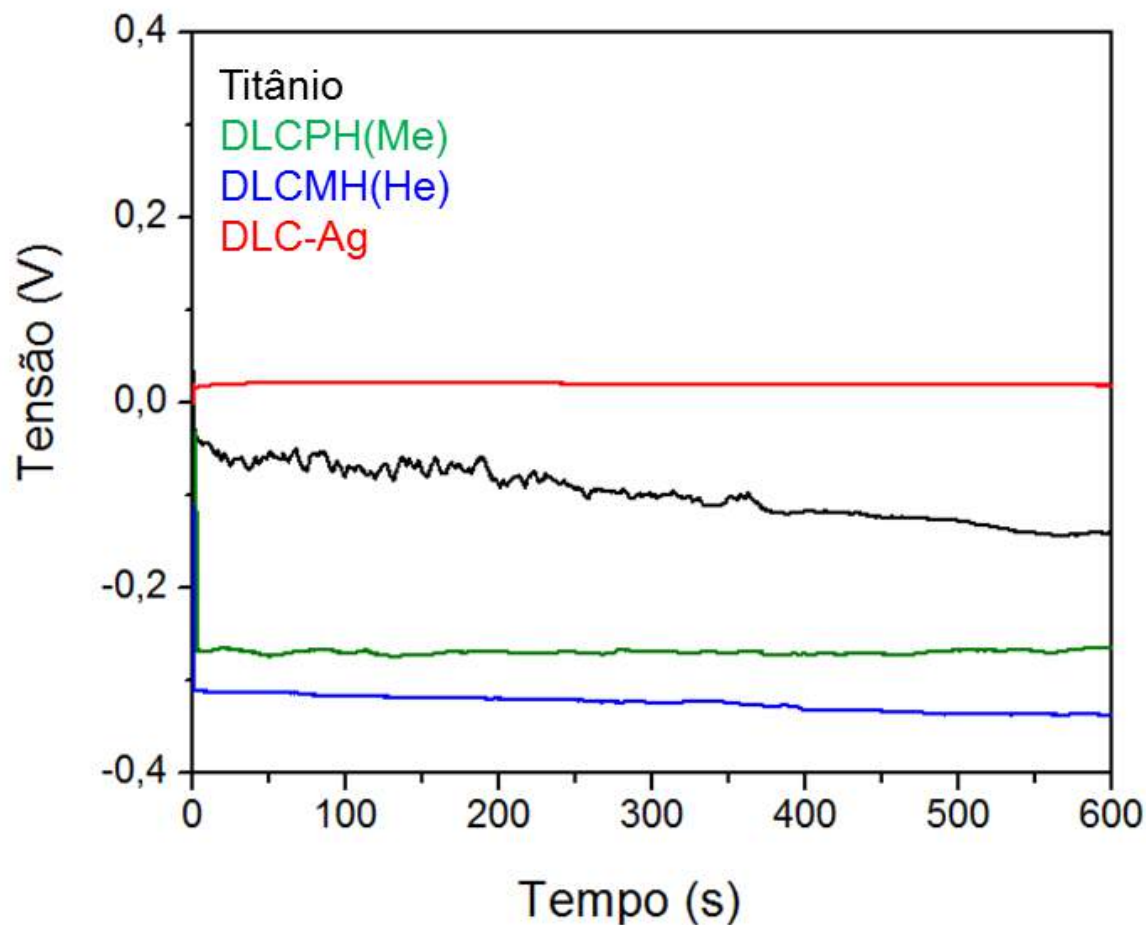
DLCPH(ME)

DLCMH(HE)

DLC-Ag

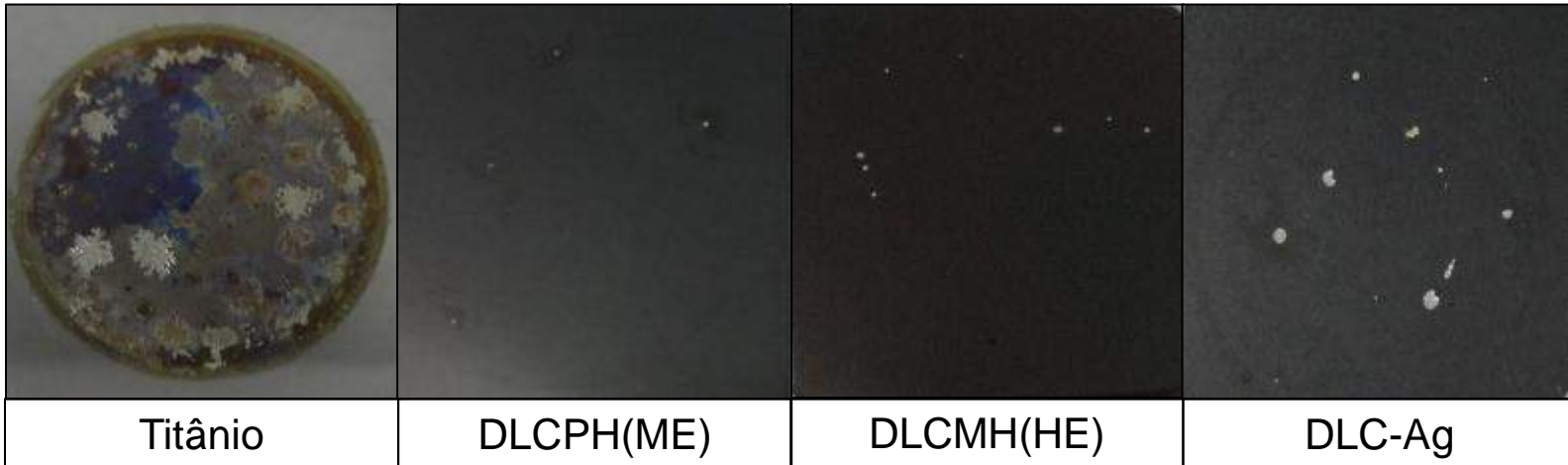


Efeito da Composição do Filme Resistência à corrosão - OCP

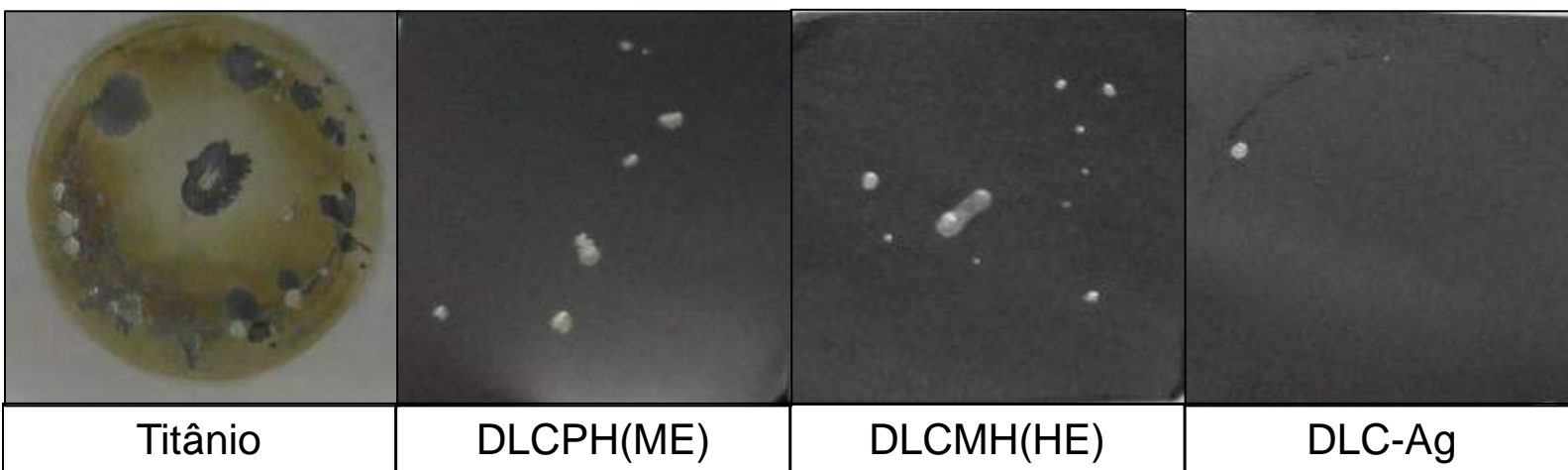


Efeito da Composição do Filme Resistência à corrosão

Polarização Eletroquímica

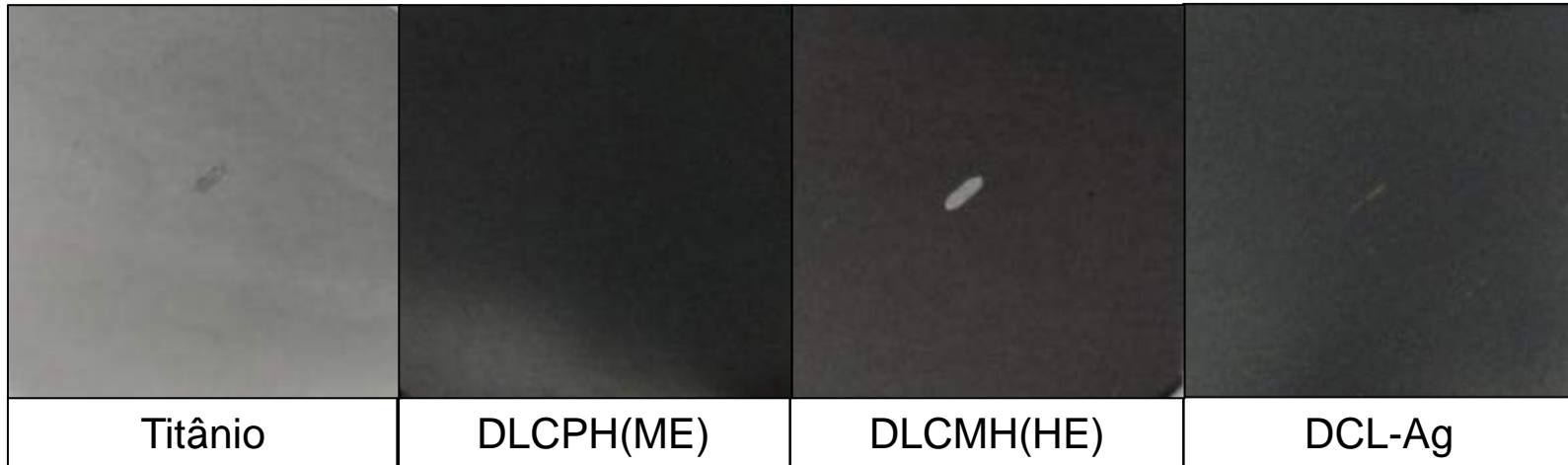


Polarização Eletroquímica + Atrito

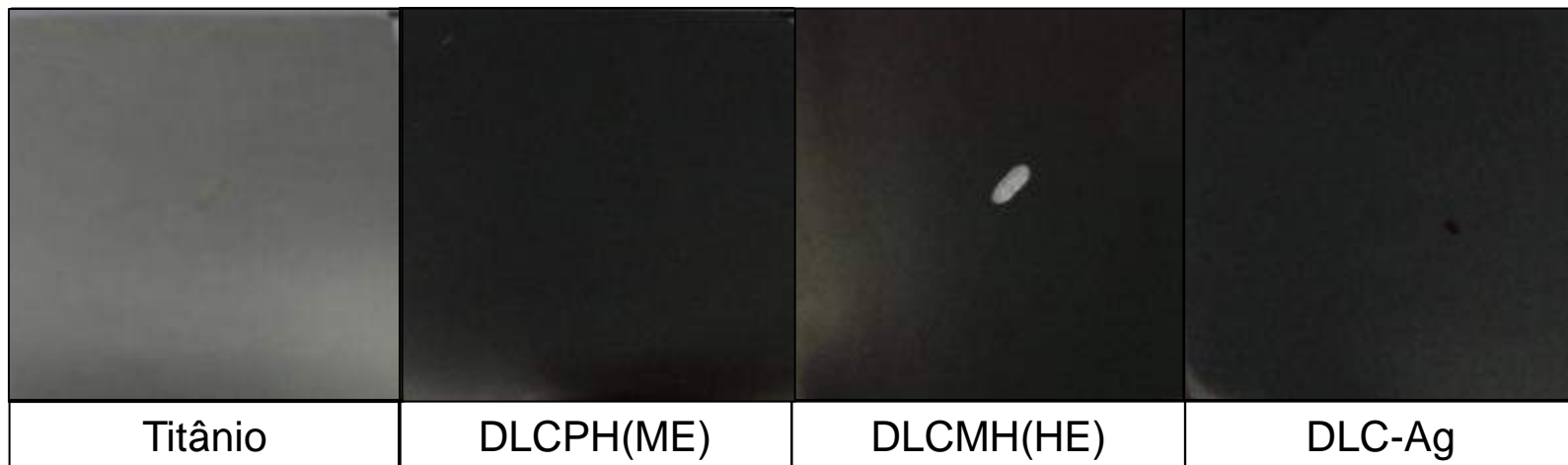


Efeito da Composição do Filme Resistência à corrosão

Atrito com Potencial Cte (+1 V)

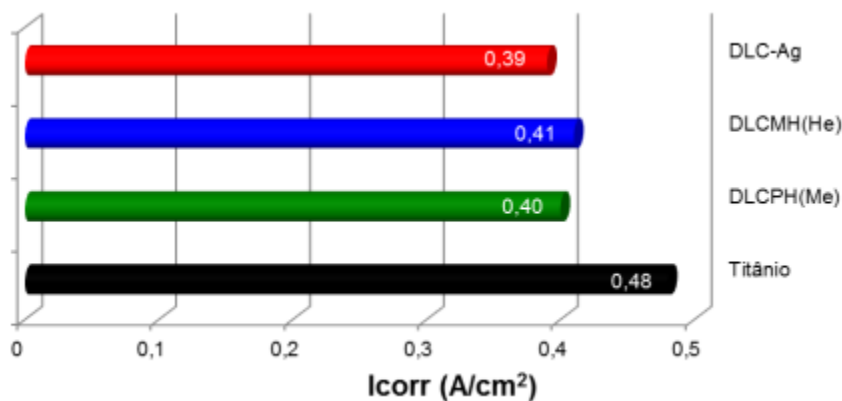


Tribocorrosão

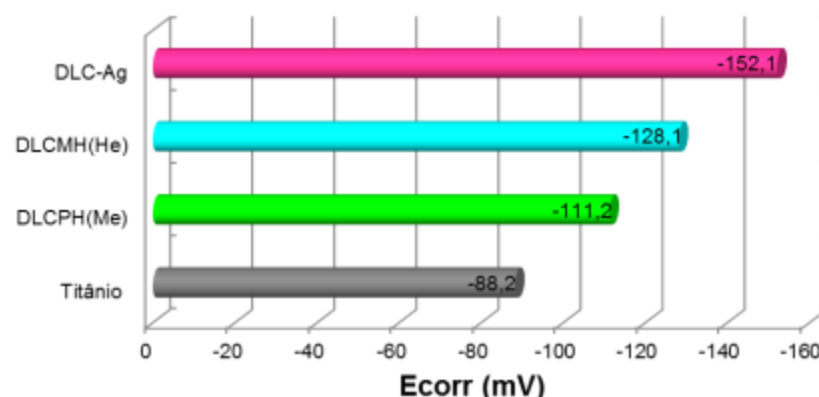
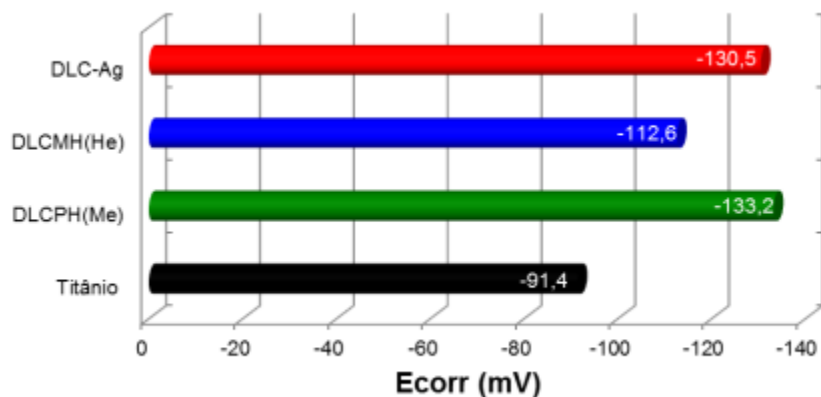
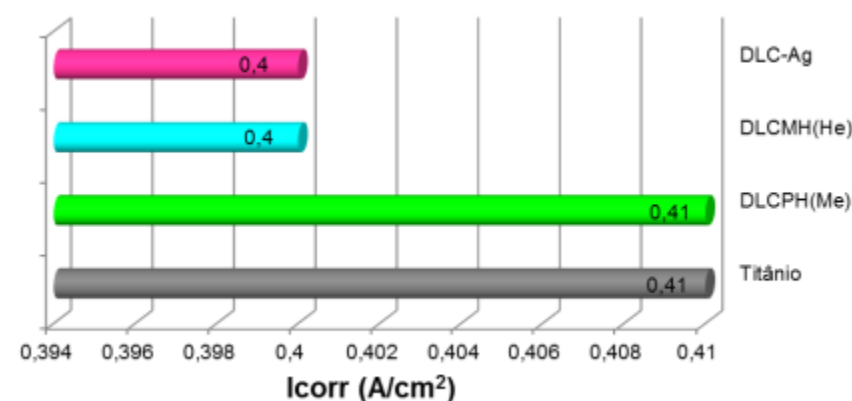


Efeito da Composição do Filme Resistência à corrosão

Polarização Eletroquímica



Polarização Eletroquímica + Atrito



Efeito da Composição do Filme Resistência à corrosão

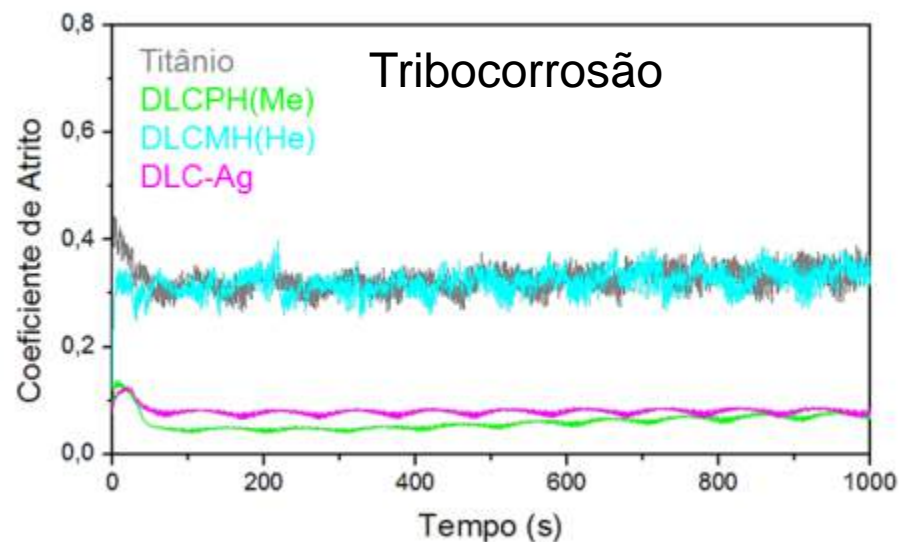
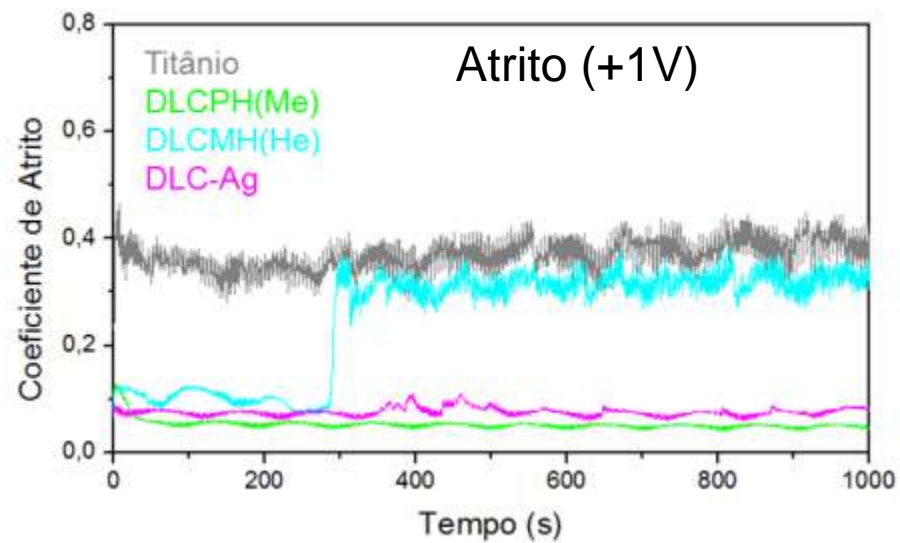
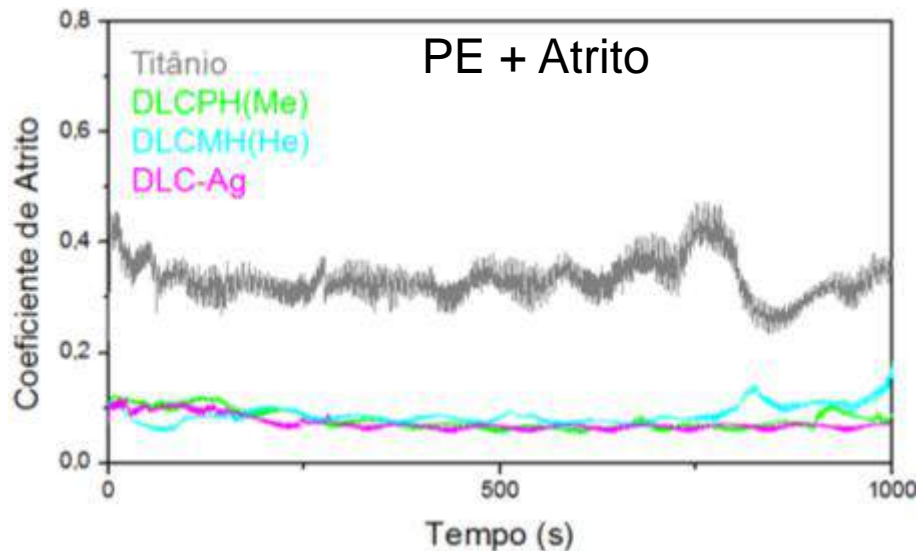
Polarização Eletroquímica

Filme	Eficiência Protetiva (%)
DLCPH(Me)	17
DLCMH(He)	15
DLC-Ag	19

Polarização Eletroquímica + Atrito

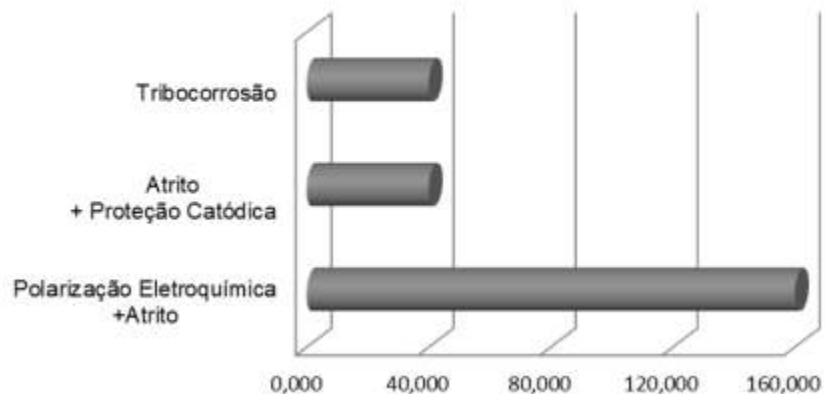
Filme	Eficiência Protetiva (%)
DLCPH(Me)	0
DLCMH(He)	2
DLC-Ag	2

Efeito da Composição do Filme Resistência à corrosão

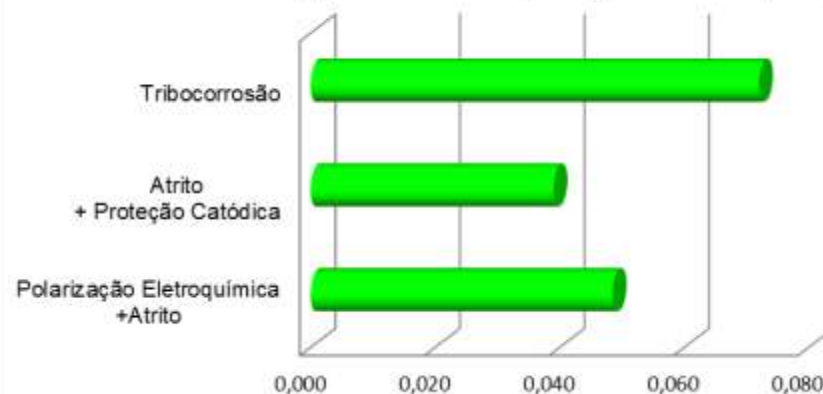


Efeito da Composição do Filme Resistência à corrosão

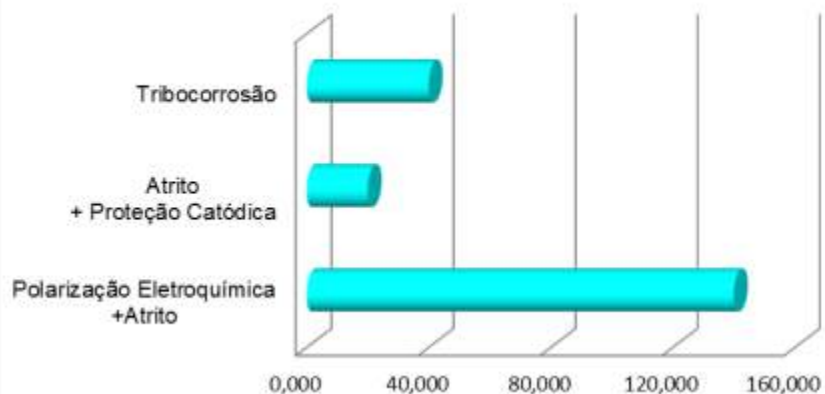
Taxa de Desgaste - Titânio ($\times 10^{-3} \text{ mm}^3$)



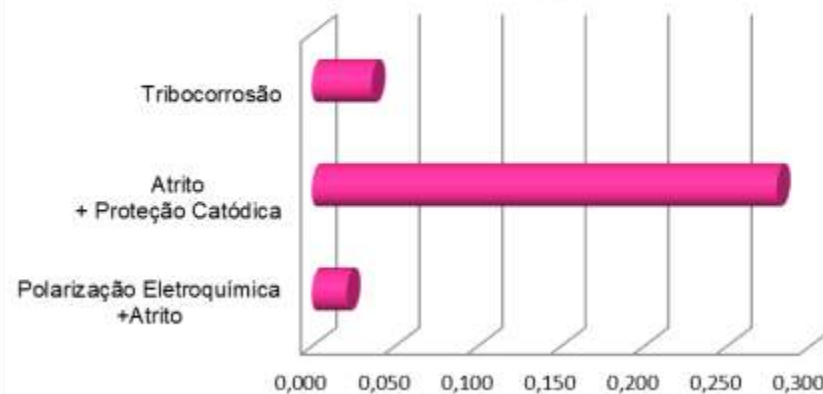
Taxa de Desgaste – DLCPH(Me) ($\times 10^{-3} \text{ mm}^3$)



Taxa de Desgaste – DLCMH(He) ($\times 10^{-3} \text{ mm}^3$)



Taxa de Desgaste – DLC-Ag($\times 10^{-3} \text{ mm}^3$)

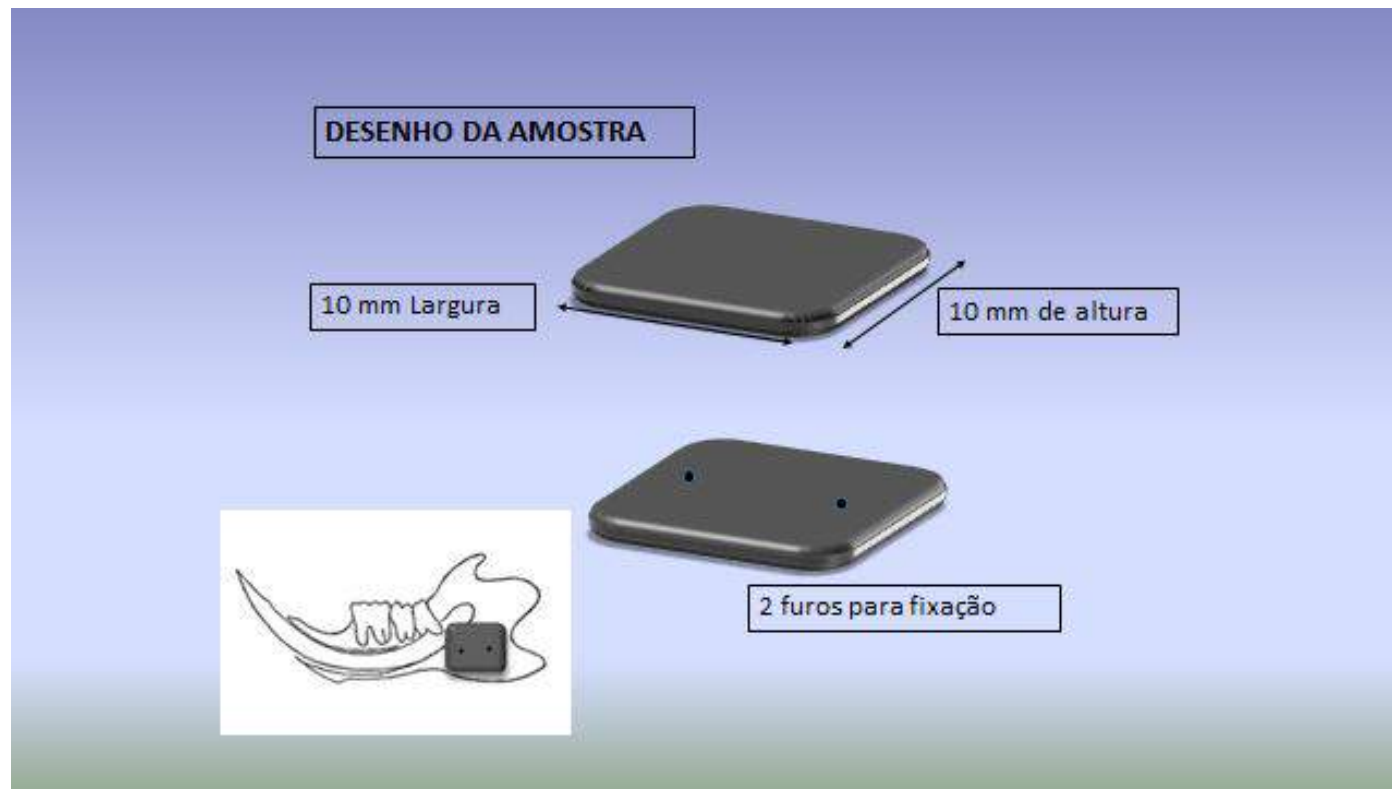


50 AMOSTRAS DE LIGA DE TITÂNIO (Ti6Al4V)

15 COM RECOBRIMENTO DE DLCMH

15 COM RECOBRIMENTO DLCMH-Ag

20 CONTROLES SEM RECOBRIMENTO



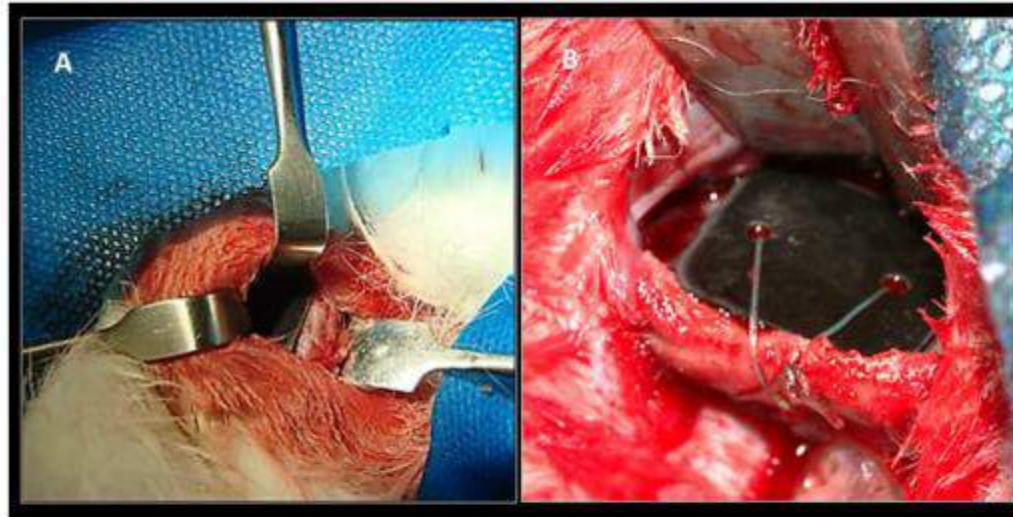


Figura 4. Procedimento cirúrgico. A) Amostra posicionada no osso na região do ângulo mandibular do coelho usando afastadores de Sean Miller; e B) Amostra fixada.

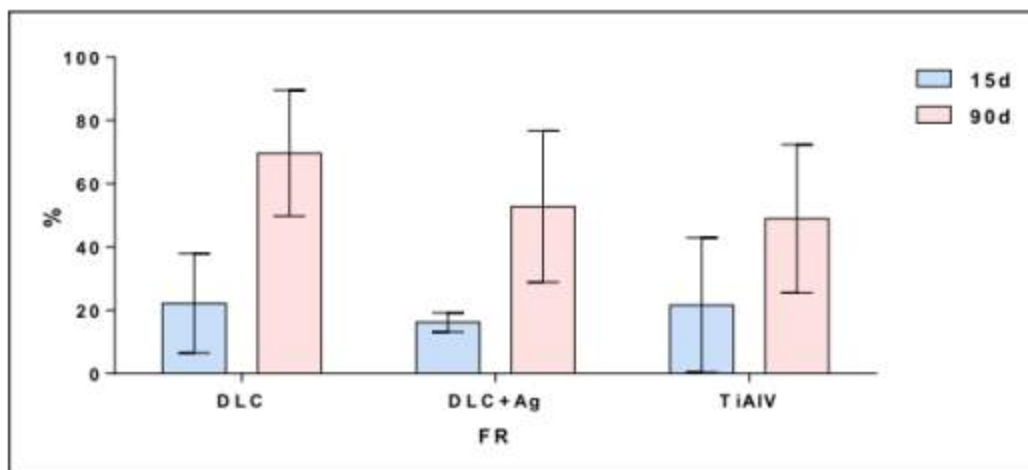


Figura 29.- Gráfico de colunas (média \pm dp) dos valores de neoformação óssea, segundo as condições experimentais estabelecidas pelo tipo de amostra e o período.